

INVESTOR:

**Krajská správa a údržba
silnic Vysočiny**
příspěvková organizace



Krajská správa a údržba silnic Vysočiny, příspěvková organizace
Kosovská 1122/16
586 01 Jihlava 1






D
SO201

SOUŘADNICOVÝ SYSTÉM

: S-JTSK

VÝŠKOVÝ SYSTÉM

: Bpv

VEDOUČÍ PROJEKTANT	Ing. Martin ŘEHULKA		 PRIS PROJEKČNÍ KANCELÁŘ PRIS spol. s r. o. OSO VÁ 20, 625 00 BRNO		
ZODPOVĚDNÝ PROJEKTANT	Ing. Rostislav OTEVŘEL				
VYPRACOVAL	Ing. Rostislav OTEVŘEL				
KONTROLOVAL	Ing. Jiří ŠRUBAŘ				
KRAJ	KRAJ VYSOČINA	INVESTOR	Krajská správa a údržba silnic Vysočiny, p. o.	DATUM	3/2021
NÁZEV AKCE III/3792 Vlkov - most ev.č. 3792-1 SO 201 Most ev.č. 3792-1				FORMÁT	A4
				MĚŘÍTKO	-
				ÚČEL	DUSP/PDPS
				ČÍS. ZAKÁZKY	20145
NÁZEV OBJEKTU	NÁZEV PŘÍLOHY STATICKÝ VÝPOČET			ARCHIVNÍ ČÍS.	201_11_SV.pdf
ČÍS. SOUPRAVY				PŘÍLOHA 11	

STATICKÝ VÝPOČET

III/3792 Vlkov – most ev.č. 3792-1

DUSP/PDPS

OBSAH:

Předpisy a literatura	str. 2
Použité programy	str. 2
Popis konstrukce mostu	str. 3
Statický model	str. 4
Půdorys	str. 6
Podélný řez	str. 7
Příčný řez	str. 8
Zatížení	str. 9
Vnitřní síly	str. 15
Posouzení konstrukce	str. 16
Posouzení mikropilot	str. 62
Posouzení křídel z armované zeminy	str. 65

V Brně, 4/2021

Ing. Rostislav Otevřel

PŘEDPISY A LITERATURA:

ČSN EN 1991-1-1	Zatížení konstrukcí - Část 1-1: Obecná zatížení - Objemové tíhy, vlastní tíha a užitná zatížení pozemních staveb
ČSN EN 1991-1-4	Zatížení konstrukcí - Část 1-4: Obecná zatížení - Zatížení větrem
ČSN EN 1991-1-5	Zatížení konstrukcí - Část 1-5: Obecná zatížení - Zatížení teplotou
ČSN EN 1991-1-7	Zatížení konstrukcí - Část 1-7: Obecná zatížení - Mimořádná zatížení
ČSN EN 1991-2	Eurokód 1: Zatížení konstrukcí - Část 2: Zatížení mostů dopravou

PROGRAMY:

Scia Engineer	- deskostěnová konstrukce
GEO 5	- posudek armované zeminy
IDEA StatiCa - IDEA RCS	- posudky železobetonových průřezů

POPIS KONSTRUKCE MOSTU

Podle druhu převáděné komunikace	- pozemní komunikace
Podle překračované překážky	- most přes vodní tok
Podle počtu mostních polí	- o 1 poli
Podle počtu úrovní mostovek	- s mostovkou v jedné úrovni
Podle výškové polohy mostovky	- s horní mostovkou
Podle přesypávky	- s přesypávkou
Podle měnitelnosti základní polohy	- nepohyblivý
Podle plánované doby trvání	- trvalý
Podle průběhu trasy na mostě	- směrově v přímé - výškově ve vrcholovém oblouku o poloměru 500m se sklonem tečen +0,5% a -0,5%
Podle úhlu křížení	- kolmý
Podle materiálu	- betonový - z železobetonu
Podle statické funkce hlavní nosné konstrukce	- rámový
Podle volné výšky na mostě	- s neomezenou volnou výškou
Podle uspořádání příčného řezu	- otevřeně uspořádaný
Délka přemostění	- 5,00 m
Délka mostu	- 15,40 m
Délka nosné konstrukce	- 5,70 m
Rozpětí pole	- 5,35 m
Šikmost mostu	- pravá 85°
Šířka vozovky	- 6,50 m
Volná šířka mostu	- 8,50 m
Šířka průchozího prostoru (nouzového nebo veřejného chodníku)	- 2,0 m
Šířka mostu	- 9,60 m
Šířka nosné konstrukce	- 9,30 m
Výška mostu nad terénem	-3,91 m nad dnem koryta potoka (v niveletě)
Stavební výška mostu	- 0,85 m
Konstrukční výška mostu	- 0,35 m
Plocha nosné konstrukce mostu	- 53 m ²
Zatížení mostu	dle ČSN EN 1991-2
Zatížitelnost dle přepočtu	Zatížení dle ČSN EN 1991-2, skupina pozemních komunikací I - normální - min. 32 t - výhradní - min. 80 t - výjimečná - min. 180 t

Charakteristika mostu

Most je založen hlubinně na vrtaných mikropilotách vetknutých do skalního podloží. Mikropiloty jsou vetknuty do základu, na který navazují ŽB dířky a ŽB klenbovou příčlí s poprsními zídками. Tloušťka příčle je 350 mm a délka NK je 5,7 m. Rovnoběžná křídla budou provedena pomocí bednicích tvarovek a vyztužené zeminy z geomříží. ŽB římsy budou v místě nosné konstrukce osazeny na poprsní zídky a v místě křídel na ŽB přítěžovací desky.

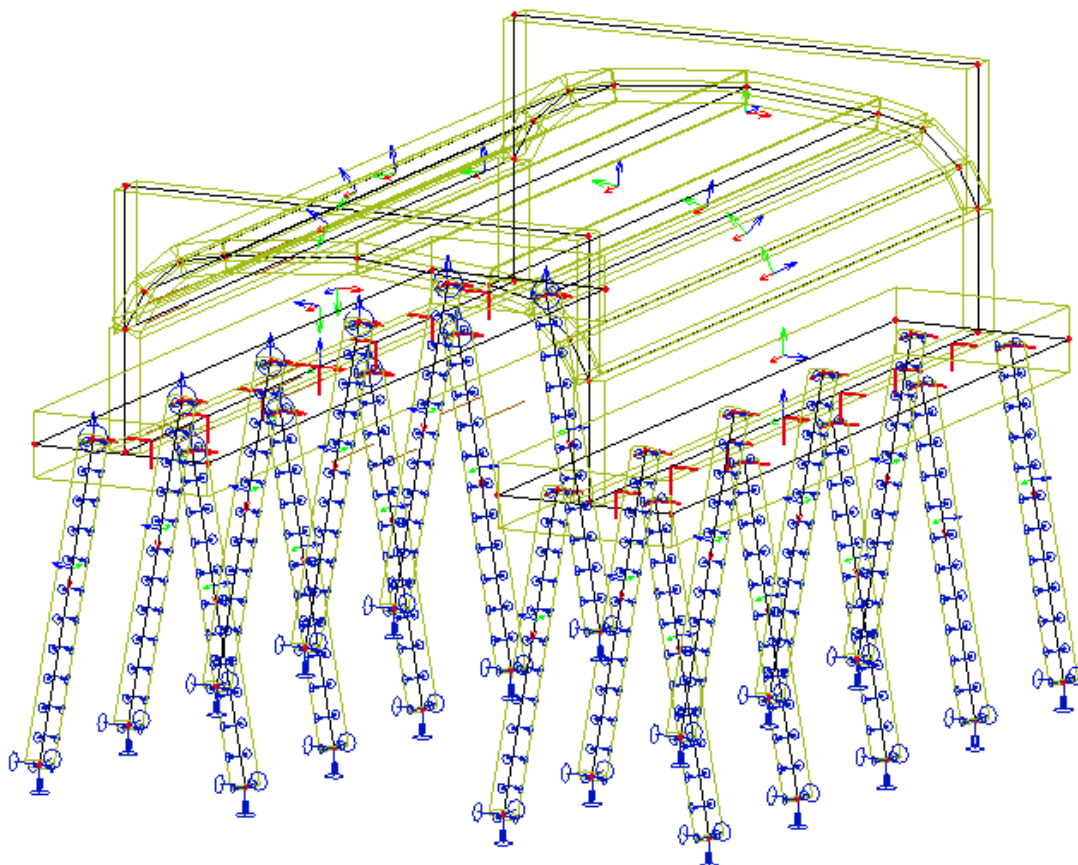
Materiál konstrukce mostu:

ŽB rám (stěny rámu+příčel)	beton C 30/37
ŽB základy rámu	beton C 25/30
Betonářská výztuž:	B500B

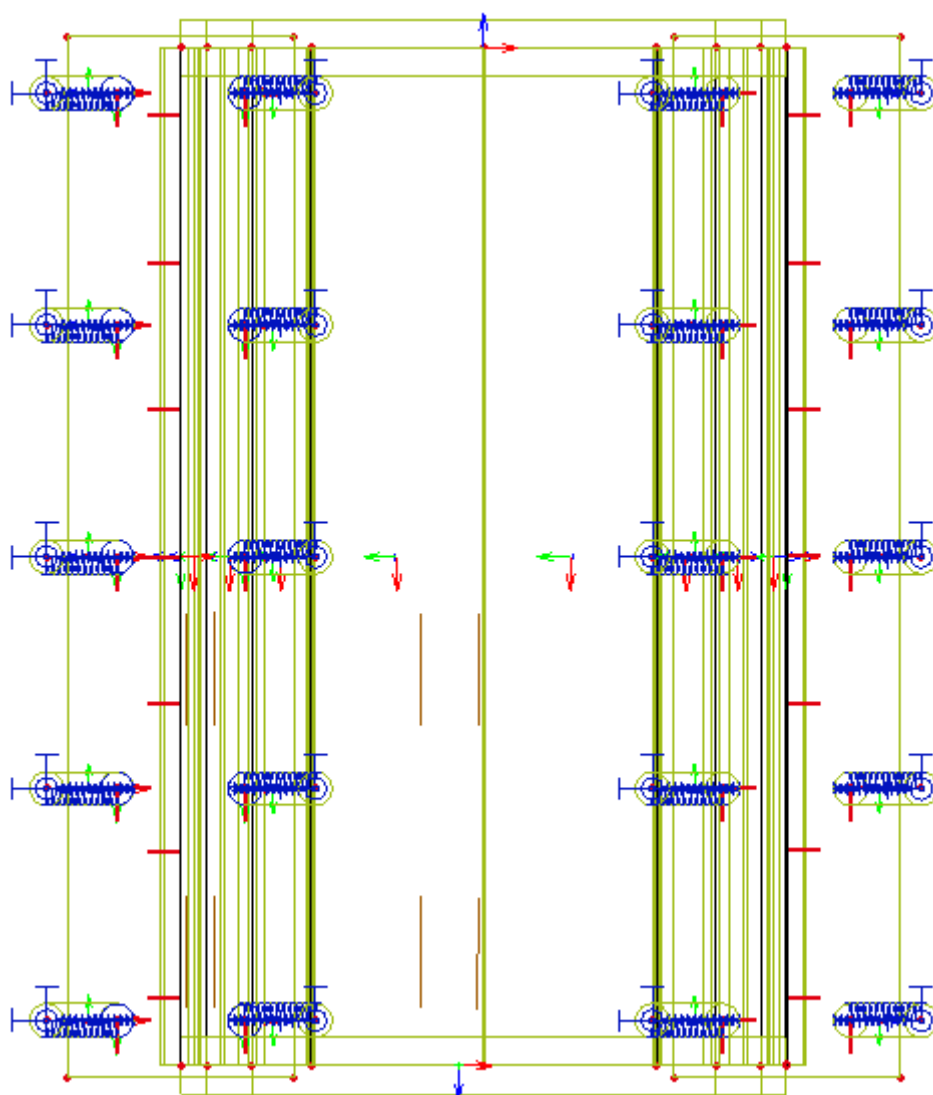
VÝPOČTOVÝ STATICKÝ MODEL NOSNÉ KONSTRUKCE

Předmětem tohoto výpočtu je posouzení nového mostu. Pro statický výpočet byl vytvořen prostorový deskostěnový model. Posouzení konstrukce bylo provedeno pro výsek konstrukce š. 1 m pomocí programu IDEA StatiCa modulem IDEA RCS.

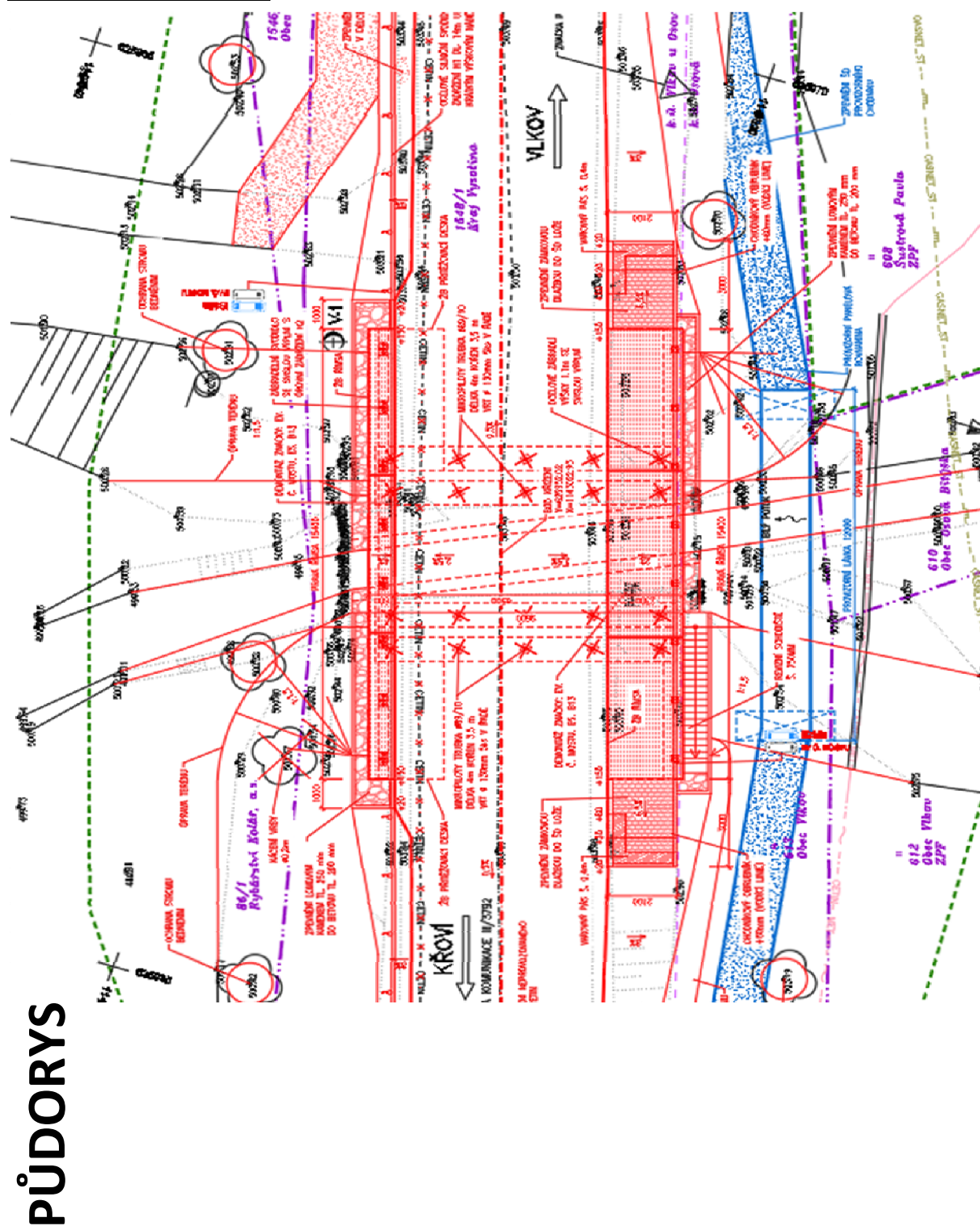
Detailní soubory vstupních a výstupních dat jsou uloženy u projektanta.

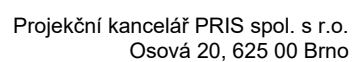
Deskostěnový model – 3D pohled

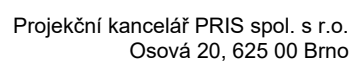
Deskostěnový model – Půdorys



Přehledné výkresy







Zatížení

1.1. STÁLÁ ZATÍŽENÍ

1.1.1. VLASTNÍ TÍHA NOSNÉ KONSTRUKCE

Objemová tíha materiálu $\gamma_z = 25.0 \text{ kN/m}^3$
(generováno programem SCIA Engineer 2019)

1.1.2. ZATÍŽENÍ OSTATNÍ STÁLÉ

1.1.2.1. Vozovka

Objemová tíha materiálu $\gamma_z = 22.0 \text{ kN/m}^3$
 Tloušťka vrstvy $h = 0.450 \text{ m}$
 Svislé rovnoměrné zatížení $\sigma_s = 9.9 \text{ kN/m}$
 Zvětšení o 20% zatížení vozovkou: $\sigma_s = 11.9 \text{ kN/m}^2$

1.1.2.2. Římsa

Objemová tíha materiálu $\gamma_z = 25.0 \text{ kN/m}^3$
 Plocha levé římsy $A_b = 0.270 \text{ m}^2$
 Šířka NK pod levou římsou $\bar{s} = 0.50 \text{ m}$
 Plošné zatížení - **levá římsa** $\sigma_s = 13.5 \text{ kN/m}^2$
 Plocha pravé římsy $A_b = 0.675 \text{ m}^2$
 Šířka NK pod pravou římsou $\bar{s} = 1.50 \text{ m}$
 Plošné zatížení - **pravá římsa** $\sigma_s = 11.3 \text{ kN/m}^2$

1.1.2.3. Zábradlí

Liniové zatížení zábradlím svodidlem: $q = 1.50 \text{ kN/m}$
 Liniové zatížení zábradlím: $q = 1.00 \text{ kN/m}$

1.1.2.4. Nýsypy a obsypy - zemní tlak

Základní údaje:

Objemová tíha zeminy $\gamma_z = 20.0 \text{ kN/m}^3$
 Úhel vnitřního tření (cca) $\phi_{ef} = 30^\circ$
 Součinitel zemního tlaku v klidu $K_r = 1 - \sin \phi_{ef} = 0.50$

Zatížení zemním tlakem (lineárně roste s hloubkou) $\sigma_H = K_r \cdot \gamma_z \cdot h$

Zemní tlak na rub stěn, resp. křídel v patě:

Opěra

h [m]	σ_H [kN/m ²]
0.5	5.00
2.8	28.00

1.2. PROMĚNNÁ ZATÍŽENÍ

1.2.1. DOPRAVA

1.2.1.1. Sestava gr1a

LM1 (regulováno pro Skupinu 1 pozemních komunikací)

Model zatížení LM1 se skládá ze dvou dílčích soustav:

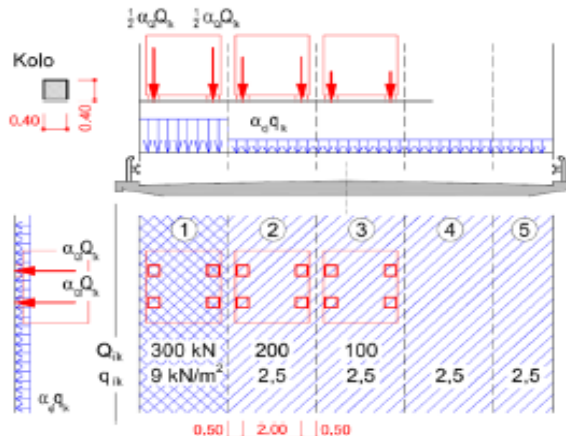
- soustředěné zatížení od dvojnápravy (TS), každá náprava o tíze $\alpha_Q Q_k$,
- rovnoměrné zatížení (UDL) o velikosti $\alpha_q q_k$ (pouze v nepříznivých částech příčinkových ploch).

V zatěžovacím pruhu pouze jedna kompletní dvojnáprava, která se pohybuje v ose pruhu pro celkové ověření.

Lokálně může jet mino osu pruhu.

Každé kolo nápravy vyvozuje zatížení $0,5 \alpha_Q Q_k$.

Kontaktní plocha kola $0,4 \times 0,4$ m.



HODNOTY REGULAČNÍCH SOUČINITELŮ α PRO ČR

skupina pozemních komunikací	α_{Q1}	α_{Q2}	α_{Q3}	α_{q1}	α_{q2}	$\alpha_{qi} (i>2)$ a α_{qr}
1	1.0	1.0	1.0	1.0	2.4	1.2
2	0.8	0.8	0.8	0.45 ¹⁾	1.6	1.6

Popis	Charakterist.	Regulace	Regulované hodnoty
Q_1	300	1.0	300 kN/náprava
Q_2	200	1.0	200 kN/náprava
Q_3	100	1.0	100 kN/náprava
q_1	9.0	1.00	9.0 kN/m ²
q_2	2.5	2.4	6.0 kN/m ²
q_z	2.5	1.2	3.0 kN/m ²

Umístění	Dvojnáprava (TS)	Rovn. zat. (ULD)
	Q_{ik} [kN]	q_{ik} (nebo q_{rk}) [kN/m ²]
Pruh č. 1	300	9.00
Pruh č. 2	200	6.0
Pruh č. 2	100	3.0

kontaktní plocha kola 0.40 x 0.40 = 0.160

Umístění	Jedno kolo (TS)	Rovn. zat. (ULD)
	[kN/m ²]	[kN/m ²]
Pruh č. 1	937.50	9.0
Pruh č. 2	625.00	6.0
Pruh č. 2	312.50	3.0

PŘÍTIŽENÍ ZEMNÍM TLAKEM V PŘECHODVÉ OBLASTI

Tabulka NA.2.5 – Půdorysná náhradní plocha

Model zatížení	Druh zatížení	Náhradní plocha
LM1	Dvojnáprava (TS)	3,0 × 5,0 m
LM3	Vozidlo 900/150	3,0 × 8,0 m
	Vozidlo 1800/200	3,0 × 14,0 m
	Vozidlo 3000/240	4,5 × 19,0 m

Plošné zatížení TS

$$\sigma_{v1} = 12.5 \text{ kN/m}^2$$

Plošné zatížení UDL

$$\sigma_{v1} = 4.5 \text{ kN/m}^2$$

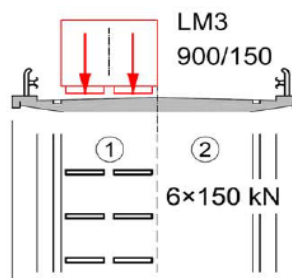
1.2.1.2. Chodci

Rovnoměrné zatížení chodníků a cyklistických pruhů na mostech pozemních komunikací se uvažuje hodnotou $q_{rk} = 5 \text{ kN/m}^2$.

1.2.1.3. Sestava gr5

ZVLÁŠTNÍ VOZIDLA PRO SILNICE III. TŘÍDY (PK SKUPINY 1)

Označení, celková tíha	900/150, 900 kN
Umístění zatížení	Zvláštní vozidlo se pohybuje v prostoru zatěžovacích pruhů.
Kombinace zatížení	Po celé délce mostu musí být vyloučena veškerá ostatní doprava.
Rychlost	Normální ($\leq 70 \text{ km/hod}$)
Dynamický součinitel	$\phi = 1.25$
Poznámka	Jedná se o jediné vozidlo na mostě.



Umístění	počet náprav	Dvojnáprava (TS)	
		Q_{ik} [kN]	
0.5 od ideální stopy	9x	150	

kontaktní plocha kola 1.20 x 0.15 = 0.180

dynamický součinitel $\phi = 1.25$

Umístění	počet kol	Jedno kolo [kN/m ²]
0.5 od ideální stopy	9x	520.8

Vzhledem k rozpětí mostu, není sestava gr5 rozhodujícím zatížením a proto se s ní nadále neuvažuje.

1.2.2. TEPLOTA

Typ konstrukce: 3

Součinitel tepelné roztažnosti betonu $\alpha = 10 \cdot 10^{-6} / ^\circ\text{C}$ **1.2.2.1. Rovnoměrná složka teploty**Maximální teplota vzduchu ve stínu $T_{\max} = 38.0 \text{ } ^\circ\text{C}$ Minimální teplota vzduchu ve stínu $T_{\min} = -32 \text{ } ^\circ\text{C}$ Maximální teplota mostu ve stínu $T_{e,\max} = T_{\max} + 1,5 = 39.5 \text{ } ^\circ\text{C}$ Minimální teplota mostu ve stínu $T_{e,\min} = T_{\min} + 8 = -24 \text{ } ^\circ\text{C}$ Výchozí teplota mostu $T_0 = 10.0 \text{ } ^\circ\text{C}$

Charakteristické hodnoty:

- prodloužení $\Delta T_{N,\exp} = T_{e,\max} + T_0 = 29.5 \text{ } ^\circ\text{C}$ - zkrácení $\Delta T_{N,\text{con}} = T_0 + T_{e,\min} = -34.0 \text{ } ^\circ\text{C}$ **1.2.2.2. Nerovnoměrná složka teploty**

Charakteristické hodnoty linerárních rozdílů teplot pro svršek tloušťky 90mm

 $\Delta T_{M,\text{heat}} = 15.0 \text{ } ^\circ\text{C}$ $\Delta T_{M,\text{cool}} = 8.0 \text{ } ^\circ\text{C}$ Tloušťka mostního svršku $t = 0.450 \text{ mm}$ Součinitele pro $t=450\text{mm}$ $k_{\text{sur,heat}} = 0.5 -$ $k_{\text{sur,cool}} = 1.0 -$

Charakteristické hodnoty lineárních rozdílů teplot pro svršek tloušťky 450mm

 $\Delta T_{M,\text{heat}} \cdot k_{\text{sur,heat}} = 7.5 \text{ } ^\circ\text{C}$ $\Delta T_{M,\text{cool}} \cdot k_{\text{sur,cool}} = 8.0 \text{ } ^\circ\text{C}$ $\omega_N = 0.35 -$ $\omega_M = 0.75 -$ **1.2.2.3. Současné působení obou složek teploty** $\Delta T_{M,\text{heat}} + \omega_N \cdot \Delta T_{N,\exp} \quad 7.5 + 0.35 \cdot 29.5 = 17.8 \text{ } ^\circ\text{C}$ $\Delta T_{M,\text{cool}} + \omega_N \cdot \Delta T_{N,\text{con}} \quad 8 + 0.35 \cdot -34 = -3.9 \text{ } ^\circ\text{C}$ $\omega_M \cdot \Delta T_{M,\text{heat}} + \Delta T_{N,\exp} \quad 0.75 \cdot 7.5 + 29.5 = 35.1 \text{ } ^\circ\text{C}$ $\omega_M \cdot \Delta T_{M,\text{cool}} + \Delta T_{N,\text{con}} \quad 0.75 \cdot 8 + -34 = -28.0 \text{ } ^\circ\text{C}$

1.2.3. SMRŠŤOVÁNÍ

$$\begin{array}{ll}
 \alpha_{ds1} = 6 & f_{ck} = 30 \text{ MPa} \\
 \alpha_{ds2} = 0.11 & f_{cm} = 38 \text{ MPa} \\
 RH = 80 \% & f_{cm,0} = 10 \text{ MPa} \\
 RH_0 = 100 \% &
 \end{array}$$

Byly uvažovány tyto časové okamžiky:

$$\begin{array}{ll}
 \text{Vybetonování NK} & t_0 = 2 \text{ dny} \\
 \text{Vnesení ostatního stálého zatížení} & t_1 = 30 \text{ dní} \\
 \text{Uvedení do provozu} & t_p = 90 \text{ dní} \\
 \text{Ukončení smršťování (životnost 100let)} & t_{\infty} = 36500 \text{ dní}
 \end{array}$$

1.2.3.1. Smršťování vysycháním**1.2.3.1.1. Základní poměrné přetvoření vysycháním**

$$\begin{aligned}
 \beta_{RH} &= 1,55 \cdot [1 - (RH/RH_0)^3] = \\
 &= 0.76
 \end{aligned}$$

$$\begin{aligned}
 \epsilon_{cd,0} &= 0,85 \cdot [(220 + 110 \cdot \alpha_{ds1}) \cdot \exp(-\alpha_{ds2} \cdot (f_{cm} / f_{cm0}))] \cdot 10^{-6} \cdot \beta_{RH} \\
 &= \underline{\underline{0.000372}}
 \end{aligned}$$

$$\begin{array}{ll}
 \text{Průřezová plocha betonu} & A_c = 3.26 \text{ m}^2 \\
 \text{Obvod vystavený vysychání} & u = 10.2 \text{ m} \\
 \text{Náhradní rozměr průřezu} & h_0 = 2 A_c / u = 2 \cdot 3 / 8.8 = 638 \text{ mm}
 \end{array}$$

1.2.3.1.2. Vývoj vysychání v čase

$$\begin{array}{ll}
 \text{Stáří betonu v uvažovaném okamžiku} & t \\
 \text{Stáří betonu na počátku smršťování} & t_s = t_0
 \end{array}$$

$$\text{Součinitel záležící na náhradní tloušťce} \quad k_h = 0.74$$

$$\beta_{ds}(t, t_s) = (t - t_s) / [(t - t_s) + 0,04 \cdot (h_0^3)^{0,5}]$$

$$\epsilon_{cd}(t) = \beta_{ds}(t, t_s) \cdot k_h \cdot \epsilon_{cd,0}$$

Tabulka vývoje vysychání v čase:

čas	$\beta_{ds}(t, t_s)$	$\epsilon_{cd}(t)$
t_0	0.042	0.000011
t_1	0.085	0.000023
t_p	0.983	0.000270
t_{∞}	1.018	0.000280

1.2.3.2. Autogenní smršťování

$$\varepsilon_{ca}(\infty) = 2,5 \cdot (f_{ck} - 10) \cdot 10^{-6}$$

$$\beta_{as}(t) = 1 - \exp(-0,2 \cdot t^{0,5})$$

$$\varepsilon_{ca}(t) = \beta_{as}(t) \cdot \varepsilon_{ca}(\infty)$$

Tabulka vývoje autogenního smršťování v čase:

čas	$\varepsilon_{ca}(\infty)$	$\beta_{as}(t)$	$\varepsilon_{ca}(t)$
t_0	0.000050	0.246	0.000012
t_1		0.666	0.000033
t_p		0.850	0.000043
t_{oo}		1.000	0.000050

1.2.3.3. Celkové smrštění

$$\varepsilon_{cs} = \varepsilon_{cd} + \varepsilon_{ca}$$

Tabulka celkového smršťování v čase:

čas	$\varepsilon_{cd}(t)$	$\varepsilon_{ca}(\infty)$	ε_{cs}
t_0	0.000011	0.000012	0.000024
t_1	0.000023	0.000033	0.000057
t_p	0.000270	0.000043	0.000312
t_{oo}	0.000280	0.000050	0.000330

Vnitřní síly a kombinace

Pozn.: Tlak v příčli není zohledněn.

PŘÍČEL									
Kombinace	U podpory			"d" od podpory			V poli		
	M_{xD-} [kNm]	V_x [kN]	N_{xD} [kN]	M_{xD-} [kNm]	V_x [kN]	N_{xD} [kN]	M_{xD-} [kNm]	V_x [kN]	N_{xD} [kN]
MSÚ 6.10b	-169.5	-	0.0	-155.0	-149.6	0.0	241.0	91.3	0.0
MSP Char	-128.5	-	0.0	-116.6	-	0.0	183.1	-	0.0
MSP Kvazi	-38.1	-	0.0	-35.3	-	0.0	49.8	-	0.0

OPĚRA						
Kombinace	V hlavě			V patě		
	M_{xD-} [kNm]	V_x [kN]	N_{xD} [kN]	M_{xD-} [kNm]	V_x [kN]	N_{xD} [kN]
MSÚ 6.10b	-164.1	-	-418.5	-102.0	-	-446.4
MSP Char	-124.9	-	-321.9	-79.3	-	-341.6
MSP Kvazi	-42.8	-	-103.6	-35.6	-	-116.7

Projekt: -- nezadáno --

Projekt číslo:

Autor: -- nezadáno --



Obsah

- 1 Data projektu
- 2 Stručné shrnutí výsledků posouzení řezů
- 3 Posouzení řezů
 - 3.1 Řez Příčel - u podpory
 - 3.2 Řez Opěra
 - 3.3 Řez Příčel - pole
 - 3.4 Řez Příčel - smyk
- 4 Seznam dimenzačních dílců
- 5 Seznam vyztužených průřezů
- 6 Seznam použitých materiálů

1 Data projektu

Název projektu -- nezadáno --
 Autor -- nezadáno --
 Datum vytvoření protokolu 07.12.2020
 Verze 21.0.0.3277

Národní norma

Národní norma	EN 1992-1-1:2014-12, CSN:2016-04/NA:2012-01
Návrhová životnost	100 let

2 Stručné shrnutí výsledků posouzení řezů

Dimenzační dílec	Počet řezů	Název extrémního řezu	Hodnota [%]	Status posudku
M 1 (Nosník)	1	Opěra	60,9	✓
M 2 (Nosník)	3	Příčel - pole	89,0	✓

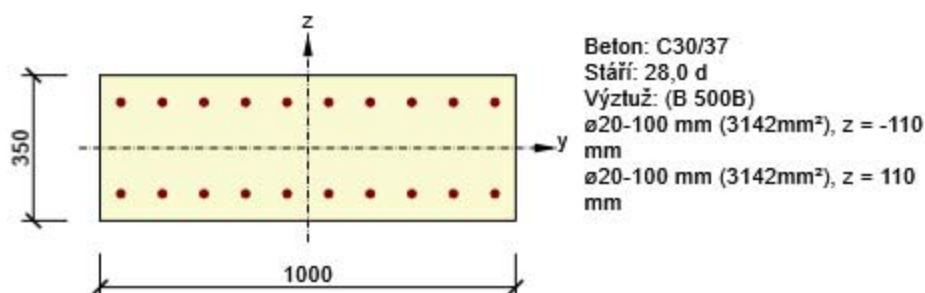
Název řezu	Dimenzační dílec	Vyztužený průřez	Hodnota [%]	Status posudku
Příčel - u podpory	M 2 (Nosník)	R 3	61,1	✓
Opěra	M 1 (Nosník)	R 1	60,9	✓
Příčel - pole	M 2 (Nosník)	R 2	89,0	✓
Příčel - smyk	M 2 (Nosník)	R 3	74,2	✓

3 Posouzení řezů

3.1 Řez Příčel - u podpory

3.1.1 Kritický extrém U podpory

Dimenzační dílec	M 2
Vyztužený průřez	R 3



3.1.1.1 Účinky zatížení - vnitřní síly

Typ zatížení	Typ kombinace	N [kN]	V _y [kN]	V _z [kN]	T [kNm]	M _y [kNm]	M _z [kNm]
Celkové	Základní MSÚ	0,0	0,0	0,0	0,0	-169,5	0,0
Celkové	Charakteristická	0,0	0,0	0,0	0,0	-128,5	0,0
Celkové	Kvazistálá	0,0	0,0	0,0	0,0	-38,1	0,0

3.1.1.2 Souhrn

Rozhodující typ posudku	N _{Ed} [kN]	M _{Ed,y} [kNm]	M _{Ed,z} [kNm]	V _{Ed} [kN]	T _{Ed} [kNm]	Hodnota [%]	Posudek
Omezení napětí	0,0	-128,5	0,0			61,1	OK
Typ posudku	N _{Ed} [kN]	M _{Ed,y} [kNm]	M _{Ed,z} [kNm]	V _{Ed} [kN]	T _{Ed} [kNm]	Hodnota [%]	Posudek
Únosnost N-M-M	0,0	-169,5	0,0			50,2	OK
Smyk	0,0			0,0	0,0	0,0	OK
Interakce	0,0	-169,5	0,0	0,0	0,0	0,0	OK
Omezení napětí	0,0	-128,5	0,0			61,1	OK
Šířka trhliny	0,0	-38,1	0,0			9,9	OK

Mezní hodnota využití průřezu: 100,0 %

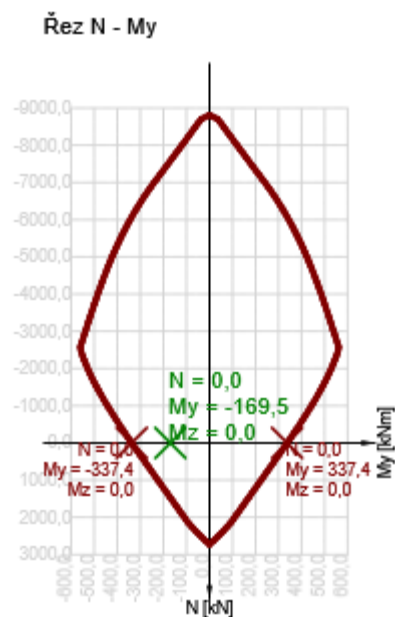
3.1.1.3 Únosnost N-M-M

Výsledky prezentovány pro kombinaci : Základní MSÚ

N_{Ed} [kN]	$M_{Ed,y}$ [kNm]	$M_{Ed,z}$ [kNm]	Typ	Hodnota [%]	Mez [%]	Posudek
0,0	-169,5	0,0	Nu-Mu-Mu	50,2	100,0	OK

Návrhová únosnost při působení ohybového momentu a normálové síly

Typ	F_{Ed}	F_{Rd1}	F_{Rd2}
N [kN]	0,0	0,0	0,0
M_y [kNm]	-169,5	-337,4	337,4
M_z [kNm]	0,0	0,0	0,0



3.1.1.4 Smyk

Výsledky prezentovány pro kombinaci : Základní MSÚ

V_{Ed} [kN]	N_{Ed} [kN]	V_{Rd} [kN]	Posudek zóny	Článek	Hodnota [%]	Mez [%]	Posudek
0,0	0,0	201,7	bez redukce	6.2.2(1)	0,0	100,0	OK

Návrhové hodnoty posouvající síly a únosnosti ve smyku

V_{Ed} [kN]	$V_{Rd,c}$ [kN]	$V_{Rd,max}$ [kN]	$V_{Rd,r}$ [kN]	$V_{Rd,s}$ [kN]	V_{Rd} [kN]
0,0	201,7	1231,0	1354,3	0,0	201,7

Vstupní hodnoty a mezivýsledky posouzení smyku

n_c	a_{sw} [mm ² /m]	A_{sl} [mm ²]	b_w [mm]	d [mm]	z [mm]	θ [°]	α [°]	α_{cw} [-]
0	0	3142	1000	285	243	35,0	90,0	1,00
$C_{Rd,c}$ [-]	k [-]	k_1 [-]	ρ_l [-]	σ_{cp} [MPa]	σ_{wd} [MPa]	v_{min} [MPa]	v [-]	v_1 [-]
0,12	1,84	0,15	0,01	0,0	0,0	0,5	0,53	0,60

3.1.1.5 Omezení napětí

Omezení napětí - krátkodobé účinky

Typ posudku	Část průřezu	Index	σ [MPa]	σ_{lim} [MPa]	Hodnota [%]	Mez [%]	Posudek
7.2(2)-Char	Vláknobetonu	1	-11,0	-18,0	61,1	100,0	OK

Omezení napětí - dlouhodobé účinky

Typ posudku	Část průřezu	Index	σ [MPa]	σ_{lim} [MPa]	Hodnota [%]	Mez [%]	Posudek
7.2(5)-Char	Výztužná vložka	11	171,6	400,0	42,9	100,0	OK

Podrobné posouzení betonu - krátkodobé účinky

Typ posudku	Vláknobeton	y_i [mm]	z_i [mm]	N [kN]	M_y [kNm]	M_z [kNm]	σ [MPa]	σ_{lim} [MPa]	Hodnota [%]	Posudek
7.2(2)-Char	1	-500	-175	0,0	-128,5	0,0	-11,0	-18,0	61,1	OK
7.2(3)-Quasi	1	-500	-175	0,0	-38,1	0,0	-3,3	-13,5	24,1	OK

Podrobné posouzení výztuže - krátkodobé účinky

Typ posudku	Vložka	y_i [mm]	z_i [mm]	N [kN]	M_y [kNm]	M_z [kNm]	σ [MPa]	σ_{lim} [MPa]	Hodnota [%]	Posudek
7.2(5)-Char	11	-450	110	0,0	-128,5	0,0	161,2	400,0	40,3	OK

Podrobné posouzení betonu - dlouhodobé účinky

Typ posudku	Vláknobeton	y_i [mm]	z_i [mm]	N [kN]	M_y [kNm]	M_z [kNm]	σ [MPa]	σ_{lim} [MPa]	Hodnota [%]	Posudek
7.2(2)-Char	1	-500	-175	0,0	-128,5	0,0	-6,5	-18,0	36,1	OK
7.2(3)-Quasi	1	-500	-175	0,0	-38,1	0,0	-1,9	-13,5	14,3	OK

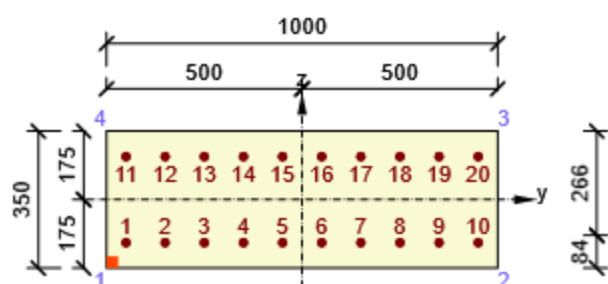
Podrobné posouzení výztuže - dlouhodobé účinky

Typ posudku	Vložka	y_i [mm]	z_i [mm]	N [kN]	M_y [kNm]	M_z [kNm]	σ [MPa]	σ_{lim} [MPa]	Hodnota [%]	Posudek
7.2(5)-Char	11	-450	110	0,0	-128,5	0,0	171,6	400,0	42,9	OK

Součinitel dotvarování

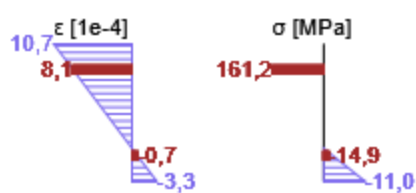
Způsob určení	h_0 [mm]	A_c [mm ²]	u [mm]	t [d]	t_0 [d]	t_s [d]	RH [%]	Použití γ_{lt}	$\varphi(t, t_0)$ [-]
Automatické	259	350000	2700	36500,0	28,0	7,0	65	Ne	1,98

Průběh napětí a poměrného přetvoření v průřezu

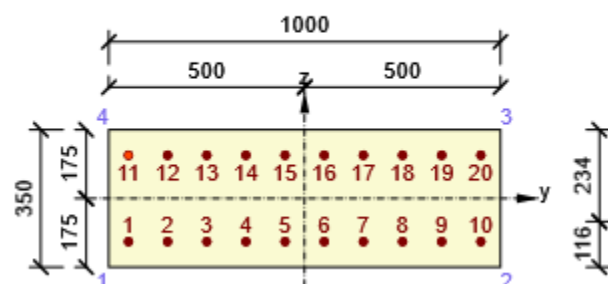


Výsledky uváděné pro:

- Charakteristická kombinace
- Tuhosti pro krátkodobé účinky

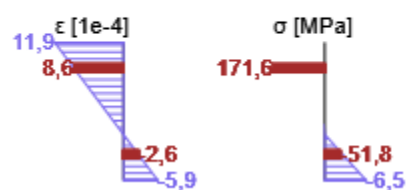


Průběh napětí a poměrného přetvoření v průřezu



Výsledky uváděné pro:

- Charakteristická kombinace
- Tuhosti pro dlouhodobé účinky



3.1.1.6 Šířka trhlin

Šířka trhlin - krátkodobé účinky

Kombinace	N [kN]	M _y [kNm]	M _z [kNm]	w _k [mm]	w _{lim} [mm]	Hodnota [%]	Mez [%]	Posudek
Kvazi	0,0	-38,1	0,0	0,030	0,300	9,9	100,0	OK

Šířka trhlin - dlouhodobé účinky

Kombinace	N [kN]	M _y [kNm]	M _z [kNm]	w _k [mm]	w _{lim} [mm]	Hodnota [%]	Mez [%]	Posudek
Kvazi	0,0	-38,1	0,0	0,030	0,300	9,9	100,0	OK

Mezivýsledky a součinitele pro výpočet šířky trhlin - krátkodobé účinky

x [mm]	h _{c,eff} [mm]	d [mm]	A _{c,eff} [mm ²]	A _{s,eff} [mm ²]	ρ _{p,eff} [-]
84	89	285	88788	3142	0,04
k _t [-]	ε _{sm} -ε _{cm} [1e-4]	k ₁ [-]	k ₂ [-]	k ₃ [-]	k ₄ [-]
0,60	1,4	0,80	0,50	2,01	0,43
c [mm]	ε ₁ [1e-4]	ε ₂ [1e-4]	s _{r,max} [mm]	Φ [mm]	σ _s [MPa]
55	3,2	-1,0	207	20	47,8

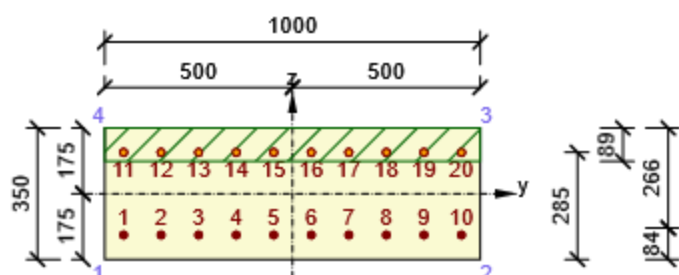
Mezivýsledky a součinitele pro výpočet šířky trhlin - dlouhodobé účinky

x [mm]	h _{c,eff} [mm]	d [mm]	A _{c,eff} [mm ²]	A _{s,eff} [mm ²]	ρ _{p,eff} [-]
116	78	285	78006	3142	0,04
k _t [-]	ε _{sm} -ε _{cm} [1e-4]	k ₁ [-]	k ₂ [-]	k ₃ [-]	k ₄ [-]
0,40	1,5	0,80	0,50	2,01	0,43
c [mm]	ε ₁ [1e-4]	ε ₂ [1e-4]	s _{r,max} [mm]	Φ [mm]	σ _s [MPa]
55	3,5	-1,7	195	20	50,9

Součinitel dotvarování

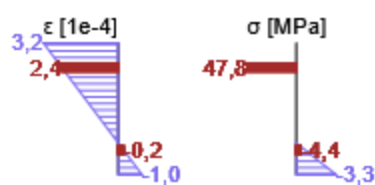
Způsob určení	h ₀ [mm]	A _c [mm ²]	u [mm]	t [d]	t ₀ [d]	t _s [d]	RH [%]	Použití γ _{lt}	φ(t,t ₀) [-]
Automatické	259	350000	2700	36500,0	28,0	7,0	65	Ne	1,98

Průběh napětí a poměrného přetvoření v průřezu

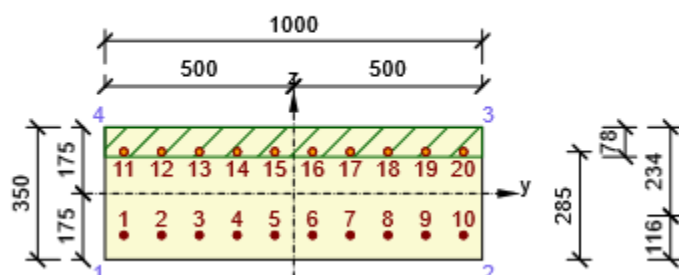


Výsledky uváděné pro:

- Kvazistálá kombinace
- Tuhosti pro krátkodobé účinky

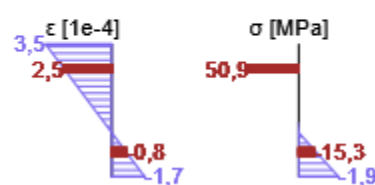


Průběh napětí a poměrného přetvoření v průřezu



Výsledky uváděné pro:

- Kvazistálá kombinace
- Tuhosti pro dlouhodobé účinky



3.1.1.7 Odezva N-M-M

Výsledky prezentovány pro kombinaci : Základní MSÚ

$N_{Ed,tot}$ [kN]	$M_{Ed,y,tot}$ [kNm]	$M_{Ed,z,tot}$ [kNm]	Vlákno betonu	Extrém ve vložce	Hodnota [%]	Mez [%]	Posudek
0,0	-169,5	0,0	1	11	54,2	100,0	OK

Rovina přetvoření

x [mm]	d [mm]	z [mm]	ε_x [1e-4]	φ_z [1e-4]	φ_y [1e-4]
105	285	243	4,3	0,0	61,7

Síly v jednotlivých částech průřezu

Část průřezu	N [kN]	M_y [kNm]	M_z [kNm]	A [mm ²]	y_i [mm]	z_i [mm]
Beton	-544,1	-75,6	0,0	104854	0	-139
Tažená výztuž	698,7	-76,9	0,0	3142	0	110
Tlačená výztuž	-154,6	-17,0	0,0	3142	0	-110
Celkové	0,0	-169,5	0,0			

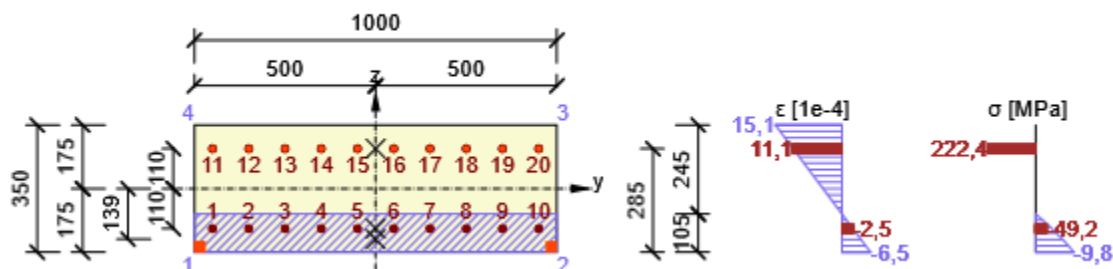
Podrobné posouzení betonu

Vlákno	y_i [mm]	z_i [mm]	ε [1e-4]	ε_{lim} [1e-4]	σ [MPa]	σ_{lim} [MPa]	Hodnota [%]	Posudek
1	-500	-175	-6,5	-35,0	-9,8	-18,0	54,2	OK

Podrobné posouzení výztuže

Vložka	y_i [mm]	z_i [mm]	ε [1e-4]	ε_{lim} [1e-4]	σ [MPa]	σ_{lim} [MPa]	Hodnota [%]	Posudek
11	-450	110	11,1	∞	222,4	434,8	51,2	OK

Průběh napětí a poměrného přetvoření v průřezu



3.1.1.8 M-N-κ diagram

M-N-κ diagram - MSÚ

Typ	N [kN]	M _y [kNm]	κ [1e-4]	x _u [mm]	ε _{horní} [1e-4]	σ _{horní} [MPa]	ε _{dolní} [1e-4]	σ _{dolní} [MPa]	EI _y [MNm ²]
Mc	0,0	-329,0	197,0	102	-20,0	-18,0	36,1	434,8	17
Ms	0,0	-322,2	133,2	122	-16,2	-14,6	21,7	434,8	24
Mu	0,0	-337,4	459,8	75	-34,4	-18,0	96,7	434,8	7
Md	0,0	-169,5	70,1	175	-12,3	-11,0	7,7	154,2	24

M-N-κ diagram - krátkodobé účinky

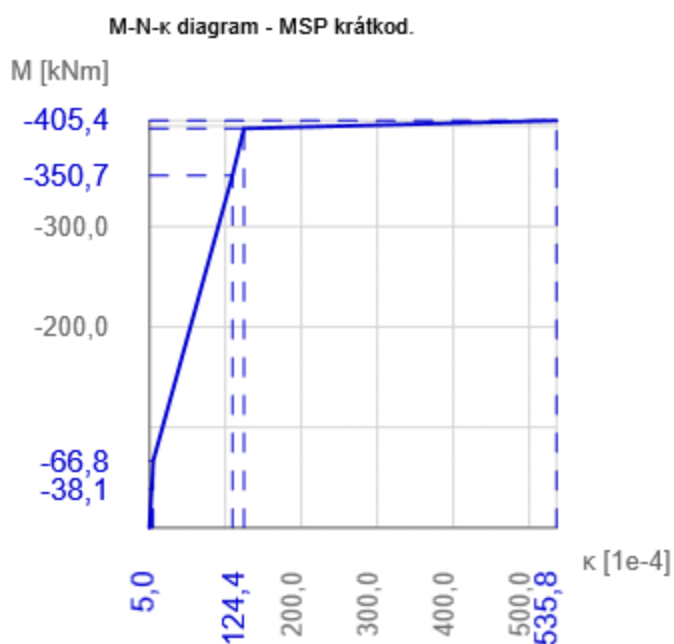
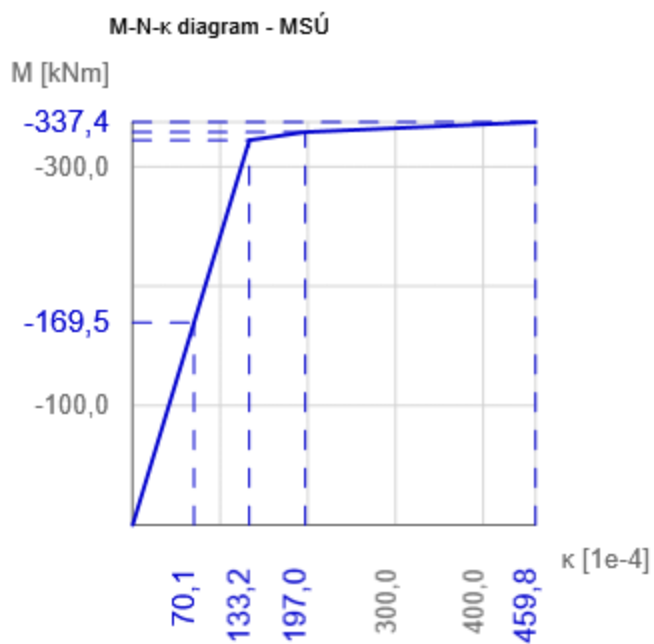
Typ	N [kN]	M _y [kNm]	κ [1e-4]	x _u [mm]	ε _{horní} [1e-4]	σ _{horní} [MPa]	ε _{dolní} [1e-4]	σ _{dolní} [MPa]	EI _y [MNm ²]
Mr	0,0	-66,8	5,0	175	-0,9	-2,9	0,9	2,9	133
Mc	-0,1	-350,7	109,2	84	-9,1	-30,0	22,0	440,0	32
Ms	0,0	-397,6	124,4	84	-10,5	-30,0	25,0	500,0	32
Mu	0,0	-405,4	535,8	65	-34,8	-30,0	117,9	500,0	8
Md	0,0	-38,1	2,9	175	-0,5	-1,7	0,3	6,3	133

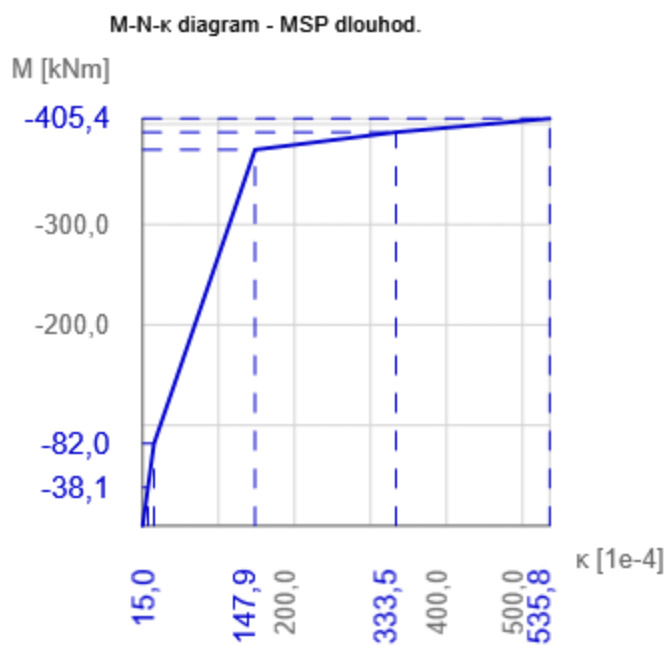
M-N-κ diagram - dlouhodobé účinky

Typ	N [kN]	M _y [kNm]	κ [1e-4]	x _u [mm]	ε _{horní} [1e-4]	σ _{horní} [MPa]	ε _{dolní} [1e-4]	σ _{dolní} [MPa]	EI _y [MNm ²]
Mr	0,0	-82,0	15,0	175	-2,6	-2,9	2,6	2,9	55
Mc	0,0	-391,8	333,5	82	-27,2	-30,0	67,8	500,0	12
Ms	-0,1	-374,5	147,9	116	-17,2	-18,9	25,0	500,0	25
Mu	0,0	-405,4	535,8	65	-34,8	-30,0	117,9	500,0	8
Md	0,0	-38,1	7,0	175	-1,2	-1,3	0,8	15,4	55

Součinitel dotvarování

Způsob určení	h ₀ [mm]	A _c [mm ²]	u [mm]	t [d]	t ₀ [d]	t _s [d]	RH [%]	Použit γ _{lt}	φ(t,t ₀) [-]
Automatické	259	350000	2700	36500,0	28,0	7,0	65	Ne	1,98





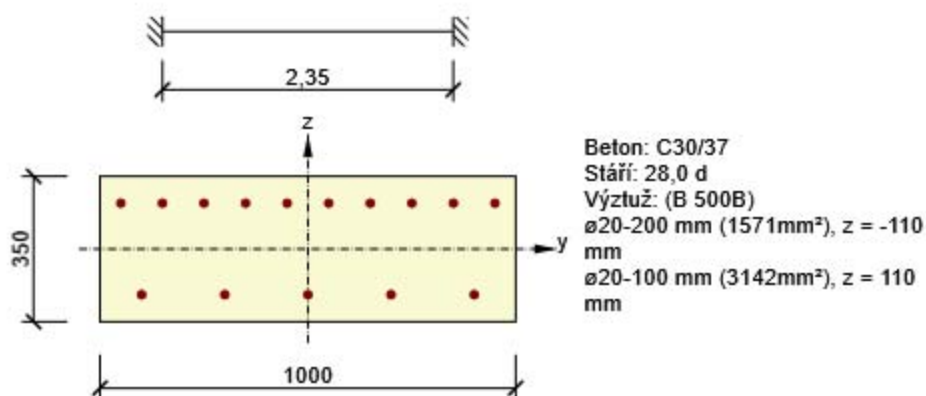
3.2 Řez Opěra

3.2.1 Stručné shrnutí výsledků extrémů v řezu

Název extrému	Čas [d]	Hodnota [%]	Status posudku
V hlavě	28,0	60,9	✓
Pata	28,0	25,2	✓

3.2.2 Kritický extrém V hlavě

Dimenzační dílec	M 1
Vyztužený průřez	R 1



3.2.2.1 Účinky zatížení - vnitřní síly

Typ zatížení	Typ kombinace	N [kN]	V _y [kN]	V _z [kN]	T [kNm]	M _y [kNm]	M _z [kNm]
Celkové	Základní MSÚ	-418,5	0,0	0,0	0,0	-164,1	0,0
Celkové	Charakteristická	-321,9	0,0	0,0	0,0	-124,9	0,0
Celkové	Kvazistálá	-103,6	0,0	0,0	0,0	-42,8	0,0

3.2.2.2 Souhrn

Rozhodující typ posudku	N_{Ed} [kN]	$M_{Ed,y}$ [kNm]	$M_{Ed,z}$ [kNm]	V_{Ed} [kN]	T_{Ed} [kNm]	Hodnota [%]	Posudek
Omezení napětí	-321,9	-124,9	0,0			60,9	OK
Typ posudku	N_{Ed} [kN]	$M_{Ed,y}$ [kNm]	$M_{Ed,z}$ [kNm]	V_{Ed} [kN]	T_{Ed} [kNm]	Hodnota [%]	Posudek
Únosnost N-M-M	-418,5	-164,1	0,0			37,0	OK
Smyk	-418,5			0,0	0,0	0,0	OK
Interakce	-418,5	-164,1	0,0	0,0	0,0	0,0	OK
Omezení napětí	-321,9	-124,9	0,0			60,9	OK
Šířka trhliny	-103,6	-42,8	0,0			7,5	OK
Ohybová štíhlost	-103,6	-42,8	0,0			15,7	OK

Mezní hodnota využití průřezu: 100,0 %

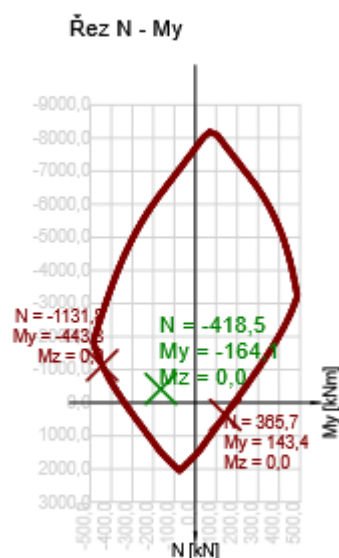
3.2.2.3 Únosnost N-M-M

Výsledky prezentovány pro kombinaci : Základní MSÚ

N_{Ed} [kN]	$M_{Ed,y}$ [kNm]	$M_{Ed,z}$ [kNm]	Typ	Hodnota [%]	Mez [%]	Posudek
-418,5	-164,1	0,0	Nu-Mu-Mu	37,0	100,0	OK

Návrhová únosnost při působení ohybového momentu a normálové síly

Typ	F_{Ed}	F_{Rd1}	F_{Rd2}
N [kN]	-418,5	-1131,8	365,7
M_y [kNm]	-164,1	-443,8	143,4
M_z [kNm]	0,0	0,0	0,0



3.2.2.4 Smyk

Výsledek prezentovaný pro kombinaci : Základní MSÚ

V_{Ed} [kN]	N_{Ed} [kN]	V_{Rd} [kN]	Posudek zóny	Článek	Hodnota [%]	Mez [%]	Posudek
0,0	-418,5	252,9	bez redukce	6.2.2(1)	0,0	100,0	OK

Návrhové hodnoty posouvající síly a únosnosti ve smyku

V_{Ed} [kN]	$V_{Rd,c}$ [kN]	$V_{Rd,max}$ [kN]	$V_{Rd,r}$ [kN]	$V_{Rd,s}$ [kN]	V_{Rd} [kN]
0,0	252,9	1266,3	1354,3	0,0	252,9

Vstupní hodnoty a mezivýsledky posouzení smyku

n_c	a_{sw} [mm ² /m]	A_{sl} [mm ²]	b_w [mm]	d [mm]	z [mm]	θ [°]	α [°]	α_{cw} [-]
0	0	3142	1000	285	235	35,0	90,0	1,06
$C_{Rd,c}$ [-]	k [-]	k_1 [-]	ρ_l [-]	σ_{cp} [MPa]	σ_{wd} [MPa]	v_{min} [MPa]	v [-]	v_1 [-]
0,12	1,84	0,15	0,01	1,2	0,0	0,5	0,53	0,60

3.2.2.5 Omezení napětí

Omezení napětí - krátkodobé účinky

Typ posudku	Část průřezu	Index	σ [MPa]	σ_{lim} [MPa]	Hodnota [%]	Mez [%]	Posudek
7.2(2)-Char	Vláknobetonu	1	-11,0	-18,0	60,9	100,0	OK

Omezení napětí - dlouhodobé účinky

Typ posudku	Část průřezu	Index	σ [MPa]	σ_{lim} [MPa]	Hodnota [%]	Mez [%]	Posudek
7.2(2)-Char	Vláknobetonu	1	-7,5	-18,0	41,5	100,0	OK

Podrobné posouzení betonu - krátkodobé účinky

Typ posudku	Vláknobetonu	y_i [mm]	z_i [mm]	N [kN]	M_y [kNm]	M_z [kNm]	σ [MPa]	σ_{lim} [MPa]	Hodnota [%]	Posudek
7.2(2)-Char	1	-500	-175	-321,9	-124,9	0,0	-11,0	-18,0	60,9	OK
7.2(3)-Quasi	1	-500	-175	-103,6	-42,8	0,0	-3,8	-13,5	27,9	OK

Podrobné posouzení výztuže - krátkodobé účinky

Typ posudku	Vložka	y_i [mm]	z_i [mm]	N [kN]	M_y [kNm]	M_z [kNm]	σ [MPa]	σ_{lim} [MPa]	Hodnota [%]	Posudek
7.2(5)-Char	6	-450	110	-321,9	-124,9	0,0	104,8	400,0	26,2	OK

Podrobné posouzení betonu - dlouhodobé účinky

Typ posudku	Vláknobetonu	y_i [mm]	z_i [mm]	N [kN]	M_y [kNm]	M_z [kNm]	σ [MPa]	σ_{lim} [MPa]	Hodnota [%]	Posudek
7.2(2)-Char	1	-500	-175	-321,9	-124,9	0,0	-7,5	-18,0	41,5	OK
7.2(3)-Quasi	1	-500	-175	-103,6	-42,8	0,0	-2,6	-13,5	18,9	OK

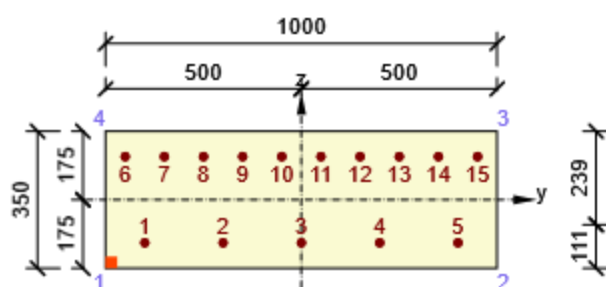
Podrobné posouzení výztuže - dlouhodobé účinky

Typ posudku	Vložka	y_i [mm]	z_i [mm]	N [kN]	M_y [kNm]	M_z [kNm]	σ [MPa]	σ_{lim} [MPa]	Hodnota [%]	Posudek
7.2(5)-Char	6	-450	110	-321,9	-124,9	0,0	117,7	400,0	29,4	OK

Součinitel dotvarování

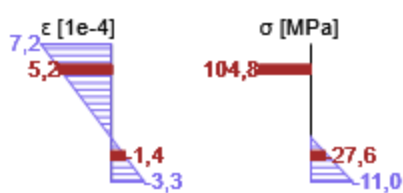
Způsob určení	h_0 [mm]	A_c [mm ²]	u [mm]	t [d]	t_0 [d]	t_s [d]	RH [%]	Použití γ_{lt}	$\varphi(t, t_0)$ [-]
Automatické	259	350000	2700	36500,0	28,0	7,0	65	Ne	1,98

Průběh napětí a poměrného přetvoření v průřezu

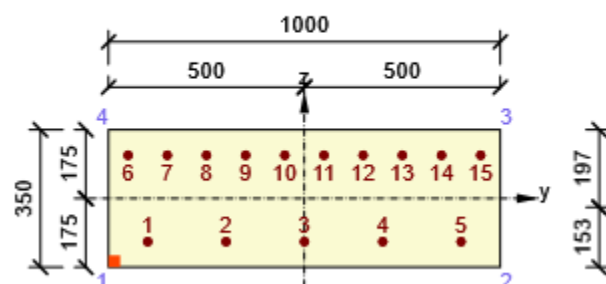


Výsledky uváděné pro:

- Charakteristická kombinace
- Tuhosti pro krátkodobé účinky

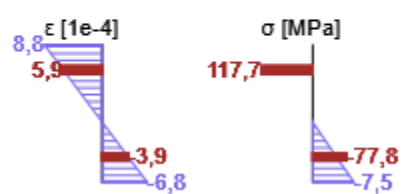


Průběh napětí a poměrného přetvoření v průřezu



Výsledky uváděné pro:

- Charakteristická kombinace
- Tuhosti pro dlouhodobé účinky



3.2.2.6 Šířka trhlin

Šířka trhlin - krátkodobé účinky

Kombinace	N [kN]	M _y [kNm]	M _z [kNm]	w _k [mm]	w _{lim} [mm]	Hodnota [%]	Mez [%]	Posudek
Kvazi	-103,6	-42,8	0,0	0,022	0,300	7,3	100,0	OK

Šířka trhlin - dlouhodobé účinky

Kombinace	N [kN]	M _y [kNm]	M _z [kNm]	w _k [mm]	w _{lim} [mm]	Hodnota [%]	Mez [%]	Posudek
Kvazi	-103,6	-42,8	0,0	0,023	0,300	7,5	100,0	OK

Mezivýsledky a součinitele pro výpočet šířky trhlin - krátkodobé účinky

x [mm]	h _{c,eff} [mm]	d [mm]	A _{c,eff} [mm ²]	A _{s,eff} [mm ²]	ρ _{p,eff} [-]
109	80	285	80303	3142	0,04
k _t [-]	ε _{sm} -ε _{cm} [1e-4]	k ₁ [-]	k ₂ [-]	k ₃ [-]	k ₄ [-]
0,60	1,1	0,80	0,50	2,01	0,43
c [mm]	ε ₁ [1e-4]	ε ₂ [1e-4]	s _{r,max} [mm]	Φ [mm]	σ _s [MPa]
55	2,5	-1,1	197	20	36,9

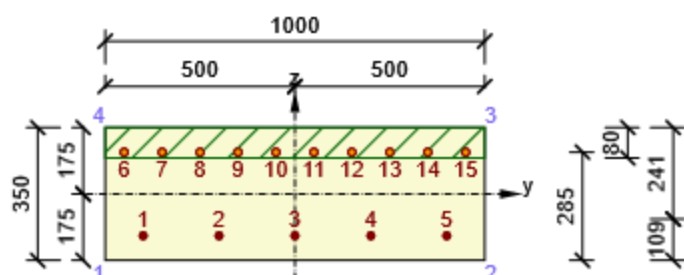
Mezivýsledky a součinitele pro výpočet šířky trhlin - dlouhodobé účinky

x [mm]	h _{c,eff} [mm]	d [mm]	A _{c,eff} [mm ²]	A _{s,eff} [mm ²]	ρ _{p,eff} [-]
151	66	285	66460	3142	0,05
k _t [-]	ε _{sm} -ε _{cm} [1e-4]	k ₁ [-]	k ₂ [-]	k ₃ [-]	k ₄ [-]
0,40	1,2	0,80	0,50	2,01	0,43
c [mm]	ε ₁ [1e-4]	ε ₂ [1e-4]	s _{r,max} [mm]	Φ [mm]	σ _s [MPa]
55	3,1	-2,3	182	20	41,3

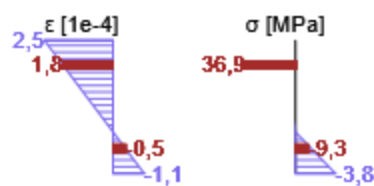
Součinitel dotvarování

Způsob určení	h ₀ [mm]	A _c [mm ²]	u [mm]	t [d]	t ₀ [d]	t _s [d]	RH [%]	Použití γ _{lt}	φ(t,t ₀) [-]
Automatické	259	350000	2700	36500,0	28,0	7,0	65	Ne	1,98

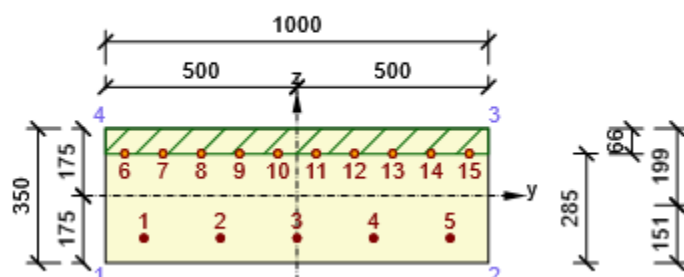
Průběh napětí a poměrného přetvoření v průřezu



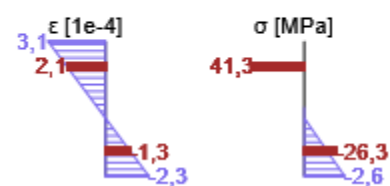
Výsledky uváděné pro:
 - Kvazistálá kombinace
 - Tuhosti pro krátkodobé účinky



Průběh napětí a poměrného přetvoření v průřezu



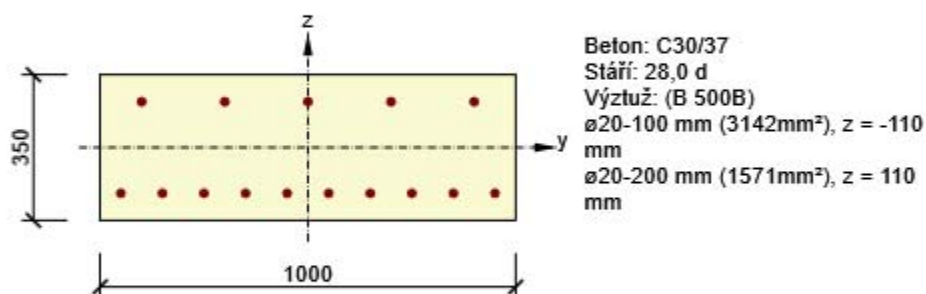
Výsledky uváděné pro:
 - Kvazistálá kombinace
 - Tuhosti pro dlouhodobé účinky



3.3 Řez Příčel - pole

3.3.1 Kritický extrém Pole

Dimenzační dílec	M 2
Vyztužený průřez	R 2



3.3.1.1 Účinky zatížení - vnitřní síly

Typ zatížení	Typ kombinace	N [kN]	V _y [kN]	V _z [kN]	T [kNm]	M _y [kNm]	M _z [kNm]
Celkové	Základní MSÚ	0,0	0,0	91,3	0,0	241,0	0,0
Celkové	Charakteristická	0,0	0,0	0,0	0,0	183,1	0,0
Celkové	Kvazistálá	0,0	0,0	0,0	0,0	49,8	0,0

3.3.1.2 Souhrn

Rozhodující typ posudku	N _{Ed} [kN]	M _{Ed,y} [kNm]	M _{Ed,z} [kNm]	V _{Ed} [kN]	T _{Ed} [kNm]	Hodnota [%]	Posudek
Omezení napětí	0,0	183,1	0,0			89,0	OK
Typ posudku	N _{Ed} [kN]	M _{Ed,y} [kNm]	M _{Ed,z} [kNm]	V _{Ed} [kN]	T _{Ed} [kNm]	Hodnota [%]	Posudek
Únosnost N-M-M	0,0	241,0	0,0			71,4	OK
Smyk	0,0			91,3	0,0	45,3	OK
Interakce	0,0	241,0	0,0	91,3	0,0	72,9	OK
Omezení napětí	0,0	183,1	0,0			89,0	OK
Šířka trhliny	0,0	49,8	0,0			12,8	OK

Mezní hodnota využití průřezu: 100,0 %

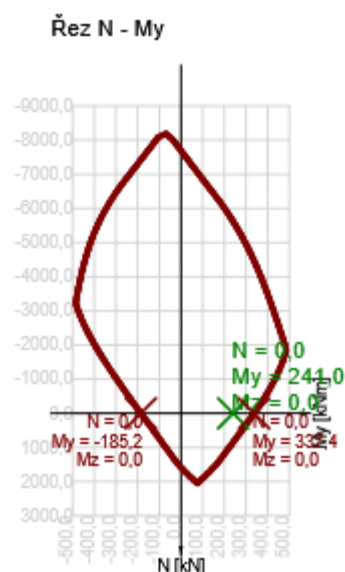
3.3.1.3 Únosnost N-M-M

Výsledky prezentovány pro kombinaci : Základní MSÚ

N_{Ed} [kN]	$M_{Ed,y}$ [kNm]	$M_{Ed,z}$ [kNm]	Typ	Hodnota [%]	Mez [%]	Posudek
0,0	241,0	0,0	Nu-Mu-Mu	71,4	100,0	OK

Návrhová únosnost při působení ohybového momentu a normálové síly

Typ	F_{Ed}	F_{Rd1}	F_{Rd2}
N [kN]	0,0	0,0	0,0
M_y [kNm]	241,0	337,4	-185,2
M_z [kNm]	0,0	0,0	0,0



3.3.1.4 Smyk

Výsledky prezentovány pro kombinaci : Základní MSÚ

V_{Ed} [kN]	N_{Ed} [kN]	V_{Rd} [kN]	Posudek zóny	Článek	Hodnota [%]	Mez [%]	Posudek
91,3	0,0	201,7	bez redukce	6.2.2(1)	45,3	100,0	OK

Návrhové hodnoty posouvající síly a únosnosti ve smyku

V_{Ed} [kN]	$V_{Rd,c}$ [kN]	$V_{Rd,max}$ [kN]	$V_{Rd,r}$ [kN]	$V_{Rd,s}$ [kN]	V_{Rd} [kN]
91,3	201,7	1228,9	1354,3	0,0	201,7

Vstupní hodnoty a mezivýsledky posouzení smyku

n_c	a_{sw} [mm ² /m]	A_{sl} [mm ²]	b_w [mm]	d [mm]	z [mm]	θ [°]	α [°]	α_{cw} [-]
0	0	3142	1000	285	242	35,0	90,0	1,00
$C_{Rd,c}$ [-]	k [-]	k_1 [-]	ρ_l [-]	σ_{cp} [MPa]	σ_{wd} [MPa]	v_{min} [MPa]	v [-]	v_1 [-]
0,12	1,84	0,15	0,01	0,0	0,0	0,5	0,53	0,60

3.3.1.5 Interakce

Výsledky prezentovány pro kombinaci : Základní MSÚ

N_{Ed} [kN]	M_{Edy} [kNm]	M_{Edz} [kNm]	V_{Ed} [kN]	T_{Ed} [kNm]	Hodnota V+T [%]	Hodnota V+T+M [%]	Hodnota [%]	Mez [%]	Posudek
0,0	241,0	0,0	91,3	0,0	45,3	72,9	72,9	100,0	OK

Posouzení interakce posouvající síly a kroucení (beton)

$V_{Rd,c}$ [kN]	$T_{Rd,c}$ [kNm]	$V_{Rd,max}$ [kN]	$T_{Rd,max}$ [kNm]	rce. 6.31 [%]	rce. 6.29 [%]	Hodnota [%]	Mez [%]	Posudek
201,7	67,2	1228,9	222,1	45,3	7,4	45,3	100,0	OK

Posouzení interakce posouvající síly, kroucení, ohybu a normálové síly

F_b [kN]	$\Delta F_{td,s}$ [kN]	$\Delta F_{td,t}$ [kN]	$\Delta \epsilon_s$ [1e-4]	$\Delta \epsilon_t$ [1e-4]	Extrém ve vložce	Hodnota [%]	Mez [%]	Posudek
859,3	130,4	0,0	0,0	0,0	1	72,9	100,0	OK

Podrobné posouzení výztuže

Vložka	y_i [mm]	z_i [mm]	$\Delta \epsilon_{st}$ [1e-4]	ϵ [1e-4]	ϵ_{lim} [1e-4]	$\Delta \sigma_{st}$ [MPa]	σ [MPa]	σ_{lim} [MPa]	Hodnota [%]	Posudek
1	-450	-110	0,0	15,8	∞	0,0	316,8	434,8	72,9	OK



3.3.1.6 Omezení napětí

Omezení napětí - krátkodobé účinky

Typ posudku	Část průřezu	Index	σ [MPa]	σ_{lim} [MPa]	Hodnota [%]	Mez [%]	Posudek
7.2(2)-Char	Vláknobeton	3	-16,0	-18,0	89,0	100,0	OK

Omezení napětí - dlouhodobé účinky

Typ posudku	Část průřezu	Index	σ [MPa]	σ_{lim} [MPa]	Hodnota [%]	Mez [%]	Posudek
7.2(5)-Char	Výztužná vložka	1	243,2	400,0	60,8	100,0	OK

Podrobné posouzení betonu - krátkodobé účinky

Typ posudku	Vláknobeton	y_i [mm]	z_i [mm]	N [kN]	M_y [kNm]	M_z [kNm]	σ [MPa]	σ_{lim} [MPa]	Hodnota [%]	Posudek
7.2(2)-Char	3	500	175	0,0	183,1	0,0	-16,0	-18,0	89,0	OK
7.2(3)-Quasi	3	500	175	0,0	49,8	0,0	-4,4	-13,5	32,3	OK

Podrobné posouzení výztuže - krátkodobé účinky

Typ posudku	Vložka	y_i [mm]	z_i [mm]	N [kN]	M_y [kNm]	M_z [kNm]	σ [MPa]	σ_{lim} [MPa]	Hodnota [%]	Posudek
7.2(5)-Char	1	-450	-110	0,0	183,1	0,0	228,8	400,0	57,2	OK

Podrobné posouzení betonu - dlouhodobé účinky

Typ posudku	Vláknobeton	y_i [mm]	z_i [mm]	N [kN]	M_y [kNm]	M_z [kNm]	σ [MPa]	σ_{lim} [MPa]	Hodnota [%]	Posudek
7.2(2)-Char	3	500	175	0,0	183,1	0,0	-10,2	-18,0	56,6	OK
7.2(3)-Quasi	3	500	175	0,0	49,8	0,0	-2,8	-13,5	20,5	OK

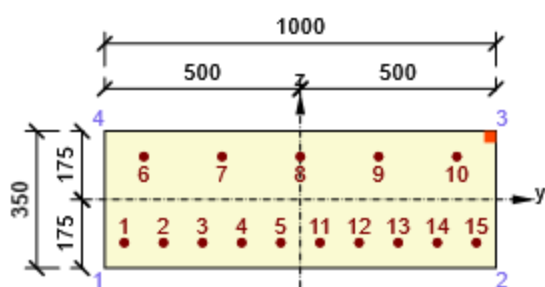
Podrobné posouzení výztuže - dlouhodobé účinky

Typ posudku	Vložka	y_i [mm]	z_i [mm]	N [kN]	M_y [kNm]	M_z [kNm]	σ [MPa]	σ_{lim} [MPa]	Hodnota [%]	Posudek
7.2(5)-Char	1	-450	-110	0,0	183,1	0,0	243,2	400,0	60,8	OK

Součinitel dotvarování

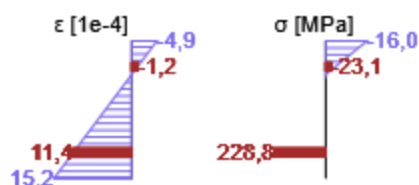
Způsob určení	h_0 [mm]	A_c [mm ²]	u [mm]	t [d]	t_0 [d]	t_s [d]	RH [%]	Použití γ_{lt}	$\varphi(t, t_0)$ [-]
Automatické	259	350000	2700	36500,0	28,0	7,0	65	Ne	1,98

Průběh napětí a poměrného přetvoření v průřezu

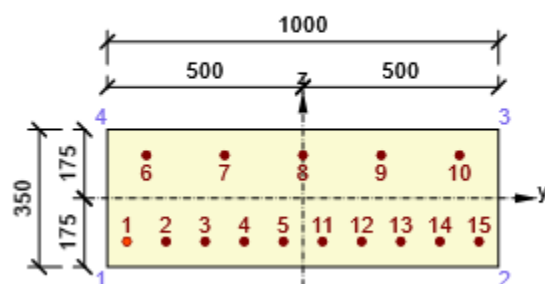


Výsledky uváděné pro:

- Charakteristická kombinace
- Tuhosti pro krátkodobé účinky

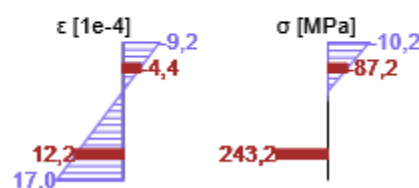


Průběh napětí a poměrného přetvoření v průřezu



Výsledky uváděné pro:

- Charakteristická kombinace
- Tuhosti pro dlouhodobé účinky



3.3.1.7 Šířka trhlin

Šířka trhlin - krátkodobé účinky

Kombinace	N [kN]	M _y [kNm]	M _z [kNm]	w _k [mm]	w _{lim} [mm]	Hodnota [%]	Mez [%]	Posudek
Kvazi	0,0	49,8	0,0	0,038	0,300	12,8	100,0	OK

Šířka trhlin - dlouhodobé účinky

Kombinace	N [kN]	M _y [kNm]	M _z [kNm]	w _k [mm]	w _{lim} [mm]	Hodnota [%]	Mez [%]	Posudek
Kvazi	0,0	49,8	0,0	0,038	0,300	12,7	100,0	OK

Mezivýsledky a součinitele pro výpočet šířky trhlin - krátkodobé účinky

x [mm]	h _{c,eff} [mm]	d [mm]	A _{c,eff} [mm ²]	A _{s,eff} [mm ²]	ρ _{p,eff} [-]
85	88	285	88263	3142	0,04
k _t [-]	ε _{sm} -ε _{cm} [1e-4]	k ₁ [-]	k ₂ [-]	k ₃ [-]	k ₄ [-]
0,60	1,9	0,80	0,50	2,01	0,43
c [mm]	ε ₁ [1e-4]	ε ₂ [1e-4]	s _{r,max} [mm]	Φ [mm]	σ _s [MPa]
55	4,1	-1,3	206	20	62,2

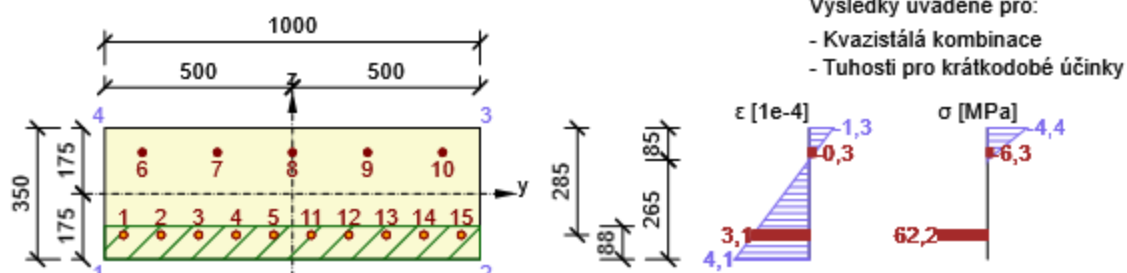
Mezivýsledky a součinitele pro výpočet šířky trhlin - dlouhodobé účinky

x [mm]	h _{c,eff} [mm]	d [mm]	A _{c,eff} [mm ²]	A _{s,eff} [mm ²]	ρ _{p,eff} [-]
123	76	285	75645	3142	0,04
k _t [-]	ε _{sm} -ε _{cm} [1e-4]	k ₁ [-]	k ₂ [-]	k ₃ [-]	k ₄ [-]
0,40	2,0	0,80	0,50	2,01	0,43
c [mm]	ε ₁ [1e-4]	ε ₂ [1e-4]	s _{r,max} [mm]	Φ [mm]	σ _s [MPa]
55	4,6	-2,5	192	20	66,1

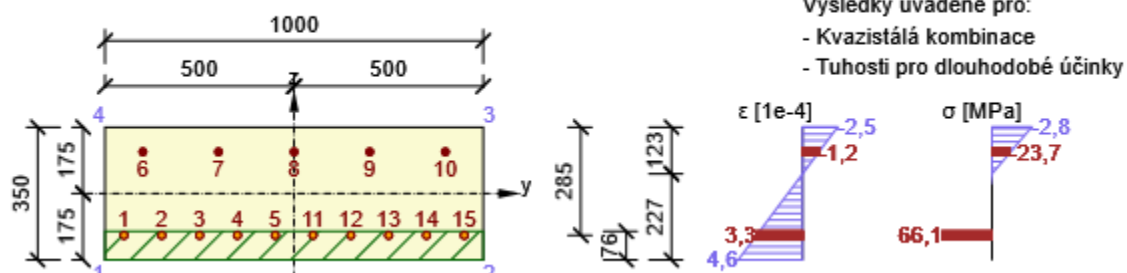
Součinitel dotvarování

Způsob určení	h ₀ [mm]	A _c [mm ²]	u [mm]	t [d]	t ₀ [d]	t _s [d]	RH [%]	Použití γ _{lt}	φ(t,t ₀) [-]
Automatické	259	350000	2700	36500,0	28,0	7,0	65	Ne	1,98

Průběh napětí a poměrného přetvoření v průřezu



Průběh napětí a poměrného přetvoření v průřezu



3.3.1.8 Odezva N-M-M

Výsledky prezentovány pro kombinaci : Základní MSÚ

$N_{Ed,tot}$ [kN]	$M_{Ed,y,tot}$ [kNm]	$M_{Ed,z,tot}$ [kNm]	Vlákno betonu	Extrém ve vložce	Hodnota [%]	Mez [%]	Posudek
0,0	241,0	0,0	3	1	76,3	100,0	OK

Rovina přetvoření

x [mm]	d [mm]	z [mm]	ϵ_x [1e-4]	ϕ_z [1e-4]	ϕ_y [1e-4]
112	285	242	5,8	0,0	-91,6

Síly v jednotlivých částech průřezu

Část průřezu	N [kN]	M_y [kNm]	M_z [kNm]	A [mm ²]	y_i [mm]	z_i [mm]
Beton	-859,3	116,6	0,0	112181	0	136
Tažená výztuž	995,1	109,5	0,0	3142	0	-110
Tlačená výztuž	-135,8	14,9	0,0	1571	0	110
Celkové	0,0	241,0	0,0			

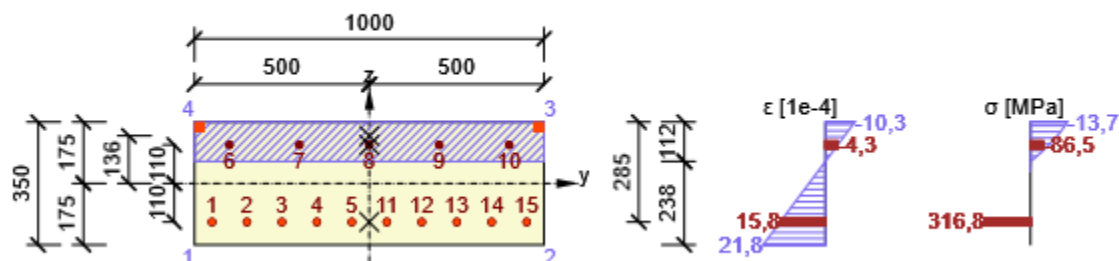
Podrobné posouzení betonu

Vlákno	y_i [mm]	z_i [mm]	ϵ [1e-4]	ϵ_{lim} [1e-4]	σ [MPa]	σ_{lim} [MPa]	Hodnota [%]	Posudek
3	500	175	-10,3	-35,0	-13,7	-18,0	76,3	OK

Podrobné posouzení výztuže

Vložka	y_i [mm]	z_i [mm]	ϵ [1e-4]	ϵ_{lim} [1e-4]	σ [MPa]	σ_{lim} [MPa]	Hodnota [%]	Posudek
1	-450	-110	15,8	∞	316,8	434,8	72,9	OK

Průběh napětí a poměrného přetvoření v průřezu



3.3.1.9 M-N- κ diagramM-N- κ diagram - MSÚ

Typ	N [kN]	M _y [kNm]	κ [1e-4]	x _u [mm]	$\epsilon_{\text{horní}}$ [1e-4]	$\sigma_{\text{horní}}$ [MPa]	$\epsilon_{\text{dolní}}$ [1e-4]	$\sigma_{\text{dolní}}$ [MPa]	EI _y [MNm ²]
Mc	0,0	327,5	-166,9	120	-20,0	-18,0	27,6	434,8	20
Ms	0,0	323,7	-140,6	130	-18,3	-16,5	21,7	434,8	23
Mu	0,0	337,4	-414,7	81	-33,4	-18,0	84,7	434,8	8
Md	0,0	241,0	-104,7	175	-18,3	-16,5	11,5	230,4	23

M-N- κ diagram - krátkodobé účinky

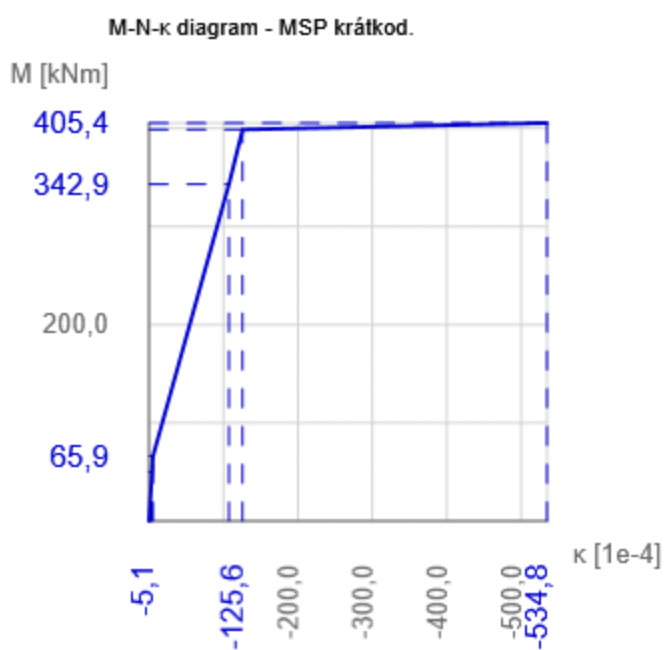
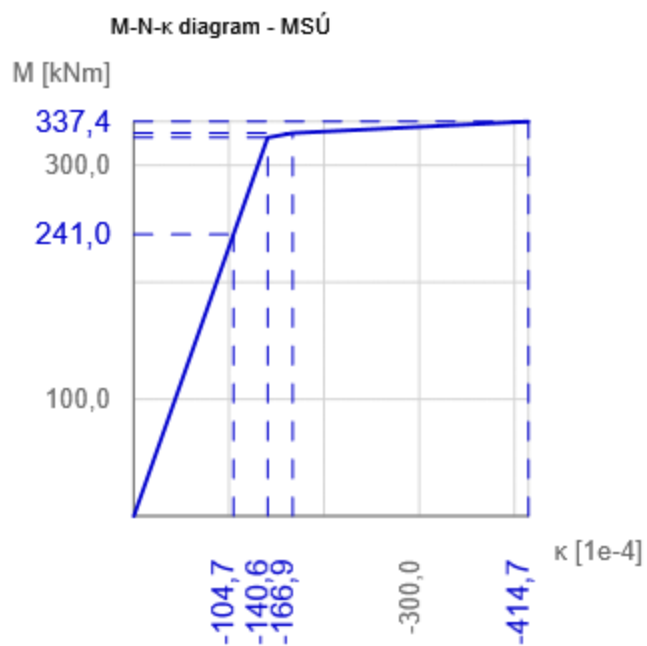
Typ	N [kN]	M _y [kNm]	κ [1e-4]	x _u [mm]	$\epsilon_{\text{horní}}$ [1e-4]	$\sigma_{\text{horní}}$ [MPa]	$\epsilon_{\text{dolní}}$ [1e-4]	$\sigma_{\text{dolní}}$ [MPa]	EI _y [MNm ²]
Mr	0,0	65,9	-5,1	178	-0,9	-3,0	0,9	2,9	129
Mc	0,0	342,9	-107,2	85	-9,1	-30,0	21,4	428,5	32
Ms	0,0	398,8	-125,6	86	-10,8	-30,0	25,0	500,0	32
Mu	0,0	405,4	-534,8	65	-34,7	-30,0	117,7	500,0	8
Md	0,0	49,8	-3,9	175	-0,7	-2,2	0,4	8,5	129

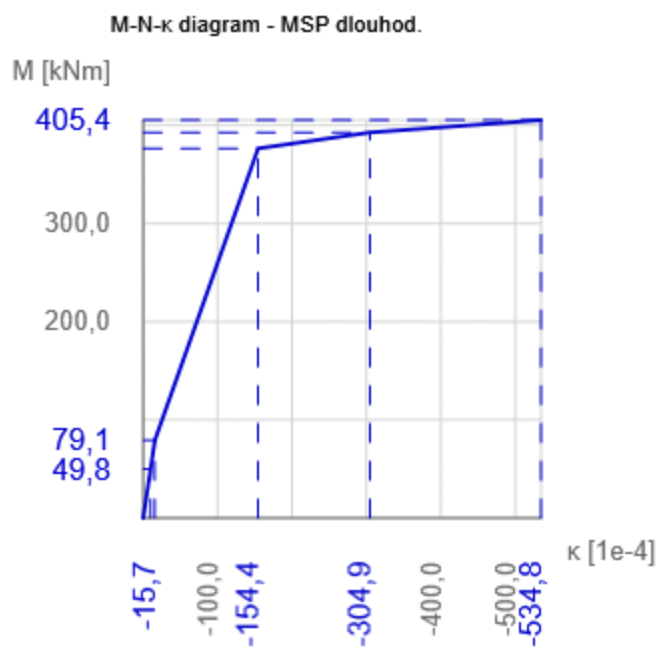
M-N- κ diagram - dlouhodobé účinky

Typ	N [kN]	M _y [kNm]	κ [1e-4]	x _u [mm]	$\epsilon_{\text{horní}}$ [1e-4]	$\sigma_{\text{horní}}$ [MPa]	$\epsilon_{\text{dolní}}$ [1e-4]	$\sigma_{\text{dolní}}$ [MPa]	EI _y [MNm ²]
Mr	0,0	79,1	-15,7	182	-2,9	-3,1	2,6	2,9	51
Mc	0,1	392,8	-304,9	89	-27,2	-30,0	59,7	500,0	13
Ms	0,0	376,5	-154,4	123	-19,0	-21,0	25,0	500,0	24
Mu	0,0	405,4	-534,8	65	-34,7	-30,0	117,7	500,0	8
Md	0,0	49,8	-9,9	175	-1,7	-1,9	1,1	21,7	51

Součinitel dotvarování

Způsob určení	h ₀ [mm]	A _c [mm ²]	u [mm]	t [d]	t ₀ [d]	t _s [d]	RH [%]	Použit γ _{lt}	φ(t,t ₀) [-]
Automatické	259	350000	2700	36500,0	28,0	7,0	65	Ne	1,98

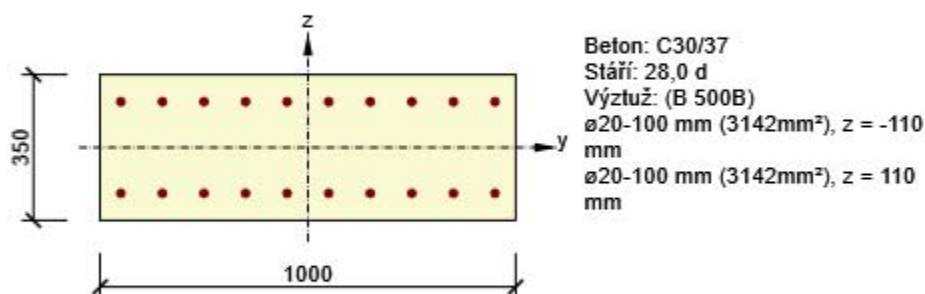




3.4 Řez Příčel - smyk

3.4.1 Kritický extrém "d" od podpory

Dimenzační dílec	M 2
Vyztužený průřez	R 3



3.4.1.1 Účinky zatížení - vnitřní síly

Typ zatížení	Typ kombinace	N [kN]	V _y [kN]	V _z [kN]	T [kNm]	M _y [kNm]	M _z [kNm]
Celkové	Základní MSÚ	0,0	0,0	-149,6	0,0	-155,0	0,0
Celkové	Charakteristická	0,0	0,0	0,0	0,0	-116,6	0,0
Celkové	Kvazistálá	0,0	0,0	0,0	0,0	-35,3	0,0

3.4.1.2 Souhrn

Rozhodující typ posudku	N _{Ed} [kN]	M _{Ed,y} [kNm]	M _{Ed,z} [kNm]	V _{Ed} [kN]	T _{Ed} [kNm]	Hodnota [%]	Posudek
Smyk	0,0			149,6	0,0	74,2	OK
Typ posudku	N _{Ed} [kN]	M _{Ed,y} [kNm]	M _{Ed,z} [kNm]	V _{Ed} [kN]	T _{Ed} [kNm]	Hodnota [%]	Posudek
Únosnost N-M-M	0,0	-155,0	0,0			45,9	OK
Smyk	0,0			149,6	0,0	74,2	OK
Interakce	0,0	-155,0	0,0	149,6	0,0	74,2	OK
Omezení napětí	0,0	-116,6	0,0			55,4	OK
Šířka trhliny	0,0	-35,3	0,0			9,2	OK

Mezní hodnota využití průřezu: 100,0 %

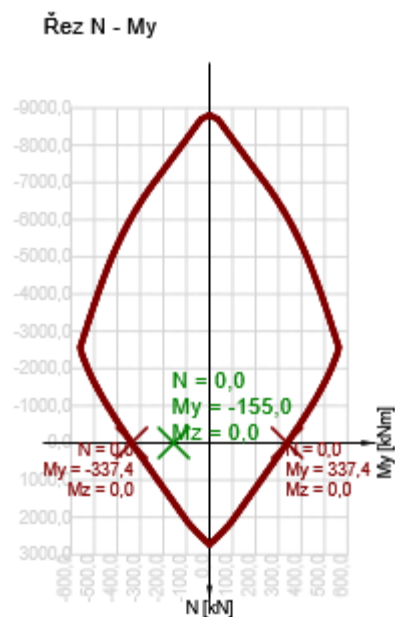
3.4.1.3 Únosnost N-M-M

Výsledky prezentovány pro kombinaci : Základní MSÚ

N_{Ed} [kN]	$M_{Ed,y}$ [kNm]	$M_{Ed,z}$ [kNm]	Typ	Hodnota [%]	Mez [%]	Posudek
0,0	-155,0	0,0	Nu-Mu-Mu	45,9	100,0	OK

Návrhová únosnost při působení ohybového momentu a normálové síly

Typ	F_{Ed}	F_{Rd1}	F_{Rd2}
N [kN]	0,0	0,0	0,0
M_y [kNm]	-155,0	-337,4	337,4
M_z [kNm]	0,0	0,0	0,0



3.4.1.4 Smyk

Výsledky prezentovány pro kombinaci : Základní MSÚ

V_{Ed} [kN]	N_{Ed} [kN]	V_{Rd} [kN]	Posudek zóny	Článek	Hodnota [%]	Mez [%]	Posudek
149,6	0,0	201,7	bez redukce	6.2.2(1)	74,2	100,0	OK

Návrhové hodnoty posouvající síly a únosnosti ve smyku

V_{Ed} [kN]	$V_{Rd,c}$ [kN]	$V_{Rd,max}$ [kN]	$V_{Rd,r}$ [kN]	$V_{Rd,s}$ [kN]	V_{Rd} [kN]
149,6	201,7	1232,2	1354,3	0,0	201,7

Vstupní hodnoty a mezivýsledky posouzení smyku

n_c	a_{sw} [mm ² /m]	A_{sl} [mm ²]	b_w [mm]	d [mm]	z [mm]	θ [°]	α [°]	α_{cw} [-]
0	0	3142	1000	285	243	35,0	90,0	1,00
$C_{Rd,c}$ [-]	k [-]	k_1 [-]	ρ_l [-]	σ_{cp} [MPa]	σ_{wd} [MPa]	v_{min} [MPa]	v [-]	v_1 [-]
0,12	1,84	0,15	0,01	0,0	0,0	0,5	0,53	0,60

3.4.1.5 Interakce

Výsledky prezentovány pro kombinaci : Základní MSÚ

N_{Ed} [kN]	M_{Edy} [kNm]	M_{Edz} [kNm]	V_{Ed} [kN]	T_{Ed} [kNm]	Hodnota V+T [%]	Hodnota V+T+M [%]	Hodnota [%]	Mez [%]	Posudek
0,0	-155,0	0,0	149,6	0,0	74,2	46,7	74,2	100,0	OK

Posouzení interakce posouvající síly a kroucení (beton)

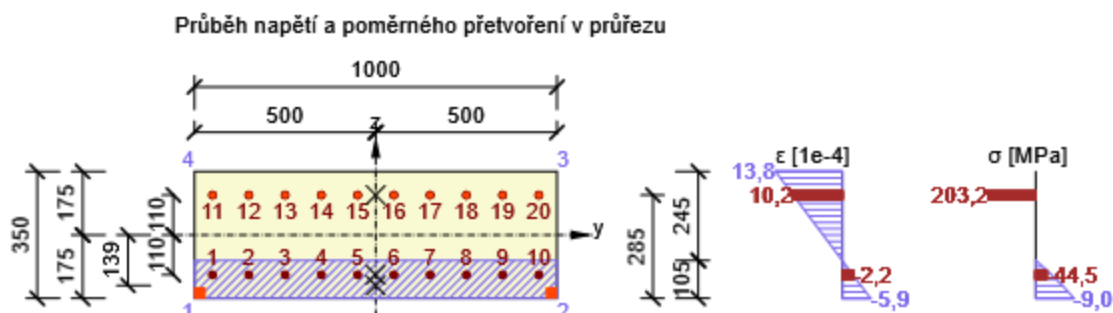
$V_{Rd,c}$ [kN]	$T_{Rd,c}$ [kNm]	$V_{Rd,max}$ [kN]	$T_{Rd,max}$ [kNm]	rce. 6.31 [%]	rce. 6.29 [%]	Hodnota [%]	Mez [%]	Posudek
201,7	67,2	1232,2	222,1	74,2	12,1	74,2	100,0	OK

Posouzení interakce posouvající síly, kroucení, ohybu a normálové síly

F_b [kN]	$\Delta F_{td,s}$ [kN]	$\Delta F_{td,t}$ [kN]	$\Delta \varepsilon_s$ [1e-4]	$\Delta \varepsilon_t$ [1e-4]	Extrém ve vložce	Hodnota [%]	Mez [%]	Posudek
498,5	213,7	0,0	0,0	0,0	11	46,7	100,0	OK

Podrobné posouzení výztuže

Vložka	y_i [mm]	z_i [mm]	$\Delta \varepsilon_{st}$ [1e-4]	ε [1e-4]	ε_{lim} [1e-4]	$\Delta \sigma_{st}$ [MPa]	σ [MPa]	σ_{lim} [MPa]	Hodnota [%]	Posudek
11	-450	110	0,0	10,2	∞	0,0	203,2	434,8	46,7	OK



3.4.1.6 Omezení napětí

Omezení napětí - krátkodobé účinky

Typ posudku	Část průřezu	Index	σ [MPa]	σ_{lim} [MPa]	Hodnota [%]	Mez [%]	Posudek
7.2(2)-Char	Vláknobeton	1	-10,0	-18,0	55,4	100,0	OK

Omezení napětí - dlouhodobé účinky

Typ posudku	Část průřezu	Index	σ [MPa]	σ_{lim} [MPa]	Hodnota [%]	Mez [%]	Posudek
7.2(5)-Char	Výztužná vložka	11	155,7	400,0	38,9	100,0	OK

Podrobné posouzení betonu - krátkodobé účinky

Typ posudku	Vláknobeton	y_i [mm]	z_i [mm]	N [kN]	M_y [kNm]	M_z [kNm]	σ [MPa]	σ_{lim} [MPa]	Hodnota [%]	Posudek
7.2(2)-Char	1	-500	-175	0,0	-116,6	0,0	-10,0	-18,0	55,4	OK
7.2(3)-Quasi	1	-500	-175	0,0	-35,3	0,0	-3,0	-13,5	22,4	OK

Podrobné posouzení výztuže - krátkodobé účinky

Typ posudku	Vložka	y_i [mm]	z_i [mm]	N [kN]	M_y [kNm]	M_z [kNm]	σ [MPa]	σ_{lim} [MPa]	Hodnota [%]	Posudek
7.2(5)-Char	11	-450	110	0,0	-116,6	0,0	146,3	400,0	36,6	OK

Podrobné posouzení betonu - dlouhodobé účinky

Typ posudku	Vláknobeton	y_i [mm]	z_i [mm]	N [kN]	M_y [kNm]	M_z [kNm]	σ [MPa]	σ_{lim} [MPa]	Hodnota [%]	Posudek
7.2(2)-Char	1	-500	-175	0,0	-116,6	0,0	-5,9	-18,0	32,7	OK
7.2(3)-Quasi	1	-500	-175	0,0	-35,3	0,0	-1,8	-13,5	13,2	OK

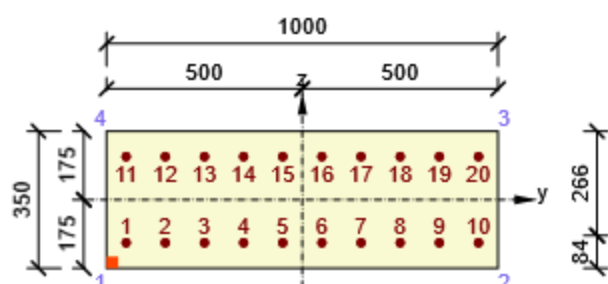
Podrobné posouzení výztuže - dlouhodobé účinky

Typ posudku	Vložka	y_i [mm]	z_i [mm]	N [kN]	M_y [kNm]	M_z [kNm]	σ [MPa]	σ_{lim} [MPa]	Hodnota [%]	Posudek
7.2(5)-Char	11	-450	110	0,0	-116,6	0,0	155,7	400,0	38,9	OK

Součinitel dotvarování

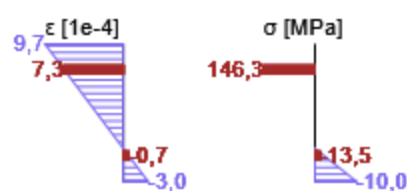
Způsob určení	h_0 [mm]	A_c [mm ²]	u [mm]	t [d]	t_0 [d]	t_s [d]	RH [%]	Použití γ_{lt}	$\varphi(t, t_0)$ [-]
Automatické	259	350000	2700	36500,0	28,0	7,0	65	Ne	1,98

Průběh napětí a poměrného přetvoření v průřezu

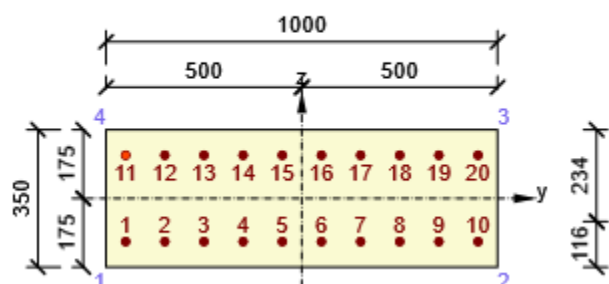


Výsledky uváděné pro:

- Charakteristická kombinace
- Tuhosti pro krátkodobé účinky

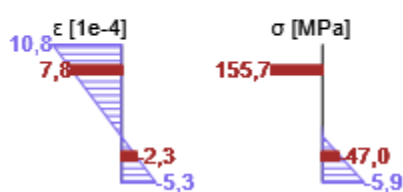


Průběh napětí a poměrného přetvoření v průřezu



Výsledky uváděné pro:

- Charakteristická kombinace
- Tuhosti pro dlouhodobé účinky



3.4.1.7 Šířka trhlin

Šířka trhlin - krátkodobé účinky

Kombinace	N [kN]	M _y [kNm]	M _z [kNm]	w _k [mm]	w _{lim} [mm]	Hodnota [%]	Mez [%]	Posudek
Kvazi	0,0	-35,3	0,0	0,027	0,300	9,2	100,0	OK

Šířka trhlin - dlouhodobé účinky

Kombinace	N [kN]	M _y [kNm]	M _z [kNm]	w _k [mm]	w _{lim} [mm]	Hodnota [%]	Mez [%]	Posudek
Kvazi	0,0	-35,3	0,0	0,028	0,300	9,2	100,0	OK

Mezivýsledky a součinitele pro výpočet šířky trhlin - krátkodobé účinky

x [mm]	h _{c,eff} [mm]	d [mm]	A _{c,eff} [mm ²]	A _{s,eff} [mm ²]	ρ _{p,eff} [-]
84	89	285	88788	3142	0,04
k _t [-]	ε _{sm} -ε _{cm} [1e-4]	k ₁ [-]	k ₂ [-]	k ₃ [-]	k ₄ [-]
0,60	1,3	0,80	0,50	2,01	0,43
c [mm]	ε ₁ [1e-4]	ε ₂ [1e-4]	s _{r,max} [mm]	Φ [mm]	σ _s [MPa]
55	2,9	-0,9	207	20	44,3

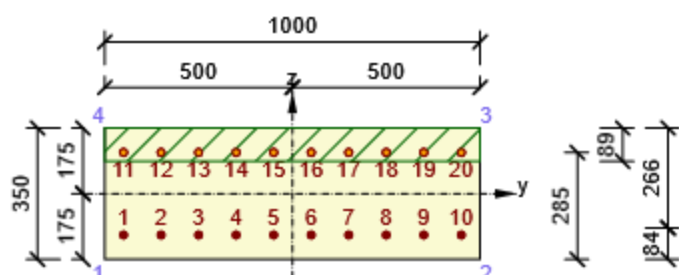
Mezivýsledky a součinitele pro výpočet šířky trhlin - dlouhodobé účinky

x [mm]	h _{c,eff} [mm]	d [mm]	A _{c,eff} [mm ²]	A _{s,eff} [mm ²]	ρ _{p,eff} [-]
116	78	285	78006	3142	0,04
k _t [-]	ε _{sm} -ε _{cm} [1e-4]	k ₁ [-]	k ₂ [-]	k ₃ [-]	k ₄ [-]
0,40	1,4	0,80	0,50	2,01	0,43
c [mm]	ε ₁ [1e-4]	ε ₂ [1e-4]	s _{r,max} [mm]	Φ [mm]	σ _s [MPa]
55	3,3	-1,6	195	20	47,1

Součinitel dotvarování

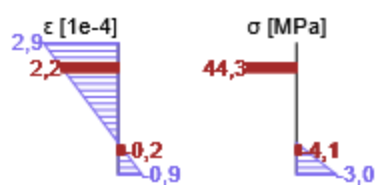
Způsob určení	h ₀ [mm]	A _c [mm ²]	u [mm]	t [d]	t ₀ [d]	t _s [d]	RH [%]	Použití γ _{lt}	φ(t,t ₀) [-]
Automatické	259	350000	2700	36500,0	28,0	7,0	65	Ne	1,98

Průběh napětí a poměrného přetvoření v průřezu

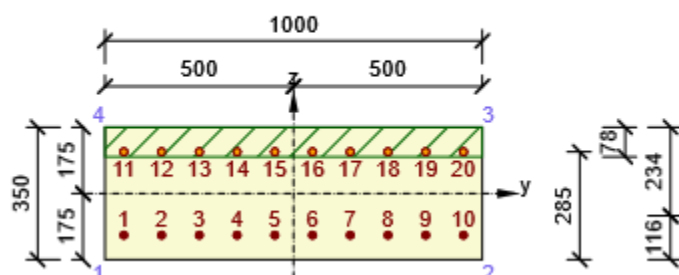


Výsledky uváděné pro:

- Kvazistálá kombinace
- Tuhosti pro krátkodobé účinky

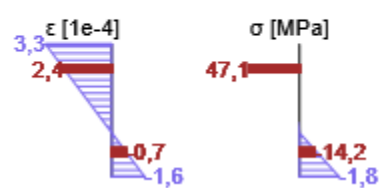


Průběh napětí a poměrného přetvoření v průřezu



Výsledky uváděné pro:

- Kvazistálá kombinace
- Tuhosti pro dlouhodobé účinky



3.4.1.8 Odezva N-M-M

Výsledky prezentovány pro kombinaci : Základní MSÚ

$N_{Ed,tot}$ [kN]	$M_{Ed,y,tot}$ [kNm]	$M_{Ed,z,tot}$ [kNm]	Vlákno betonu	Extrém ve vložce	Hodnota [%]	Mez [%]	Posudek
0,0	-155,0	0,0	1	11	50,2	100,0	OK

Rovina přetvoření

x [mm]	d [mm]	z [mm]	ε_x [1e-4]	φ_z [1e-4]	φ_y [1e-4]
105	285	243	4,0	0,0	56,3

Síly v jednotlivých částech průřezu

Část průřezu	N [kN]	M_y [kNm]	M_z [kNm]	A [mm ²]	y_i [mm]	z_i [mm]
Beton	-498,5	-69,4	0,0	104531	0	-139
Tažená výztuž	638,3	-70,2	0,0	3142	0	110
Tlačená výztuž	-139,8	-15,4	0,0	3142	0	-110
Celkové	0,0	-155,0	0,0			

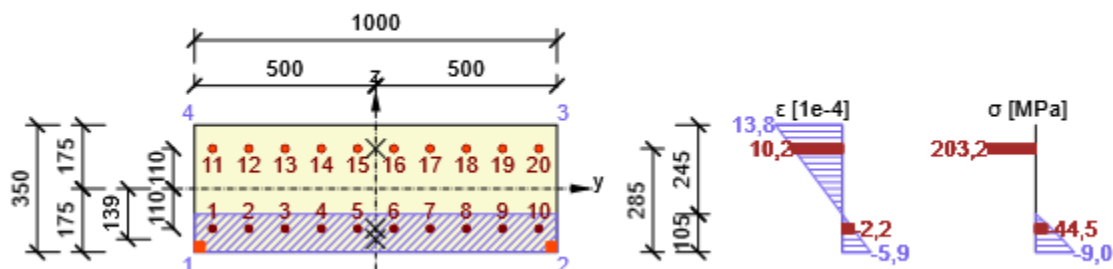
Podrobné posouzení betonu

Vlákno	y_i [mm]	z_i [mm]	ε [1e-4]	ε_{lim} [1e-4]	σ [MPa]	σ_{lim} [MPa]	Hodnota [%]	Posudek
1	-500	-175	-5,9	-35,0	-9,0	-18,0	50,2	OK

Podrobné posouzení výztuže

Vložka	y_i [mm]	z_i [mm]	ε [1e-4]	ε_{lim} [1e-4]	σ [MPa]	σ_{lim} [MPa]	Hodnota [%]	Posudek
11	-450	110	10,2	∞	203,2	434,8	46,7	OK

Průběh napětí a poměrného přetvoření v průřezu



3.4.1.9 M-N- κ diagramM-N- κ diagram - MSÚ

Typ	N [kN]	M _y [kNm]	κ [1e-4]	x _u [mm]	$\epsilon_{\text{horní}}$ [1e-4]	$\sigma_{\text{horní}}$ [MPa]	$\epsilon_{\text{dolní}}$ [1e-4]	$\sigma_{\text{dolní}}$ [MPa]	EI _y [MNm ²]
Mc	0,0	-329,0	197,0	102	-20,0	-18,0	36,1	434,8	17
Ms	0,0	-322,2	133,2	122	-16,2	-14,6	21,7	434,8	24
Mu	0,0	-337,4	459,8	75	-34,4	-18,0	96,7	434,8	7
Md	0,0	-155,0	64,1	175	-11,2	-10,1	7,1	141,0	24

M-N- κ diagram - krátkodobé účinky

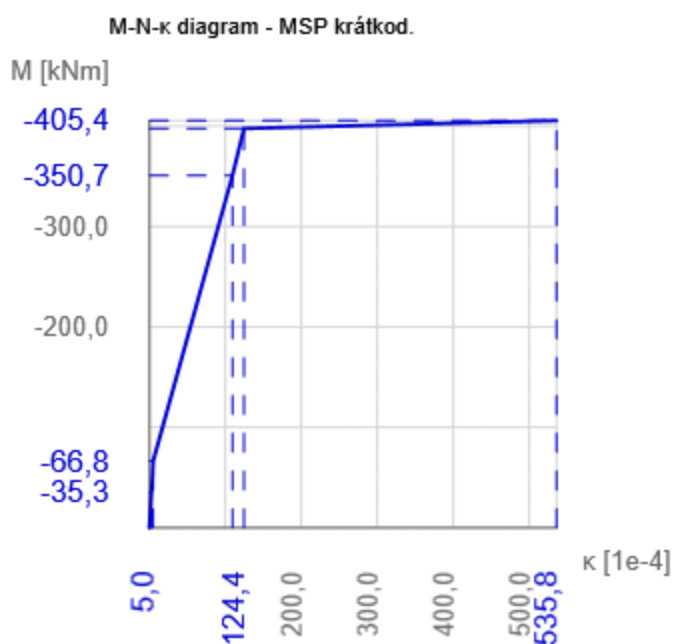
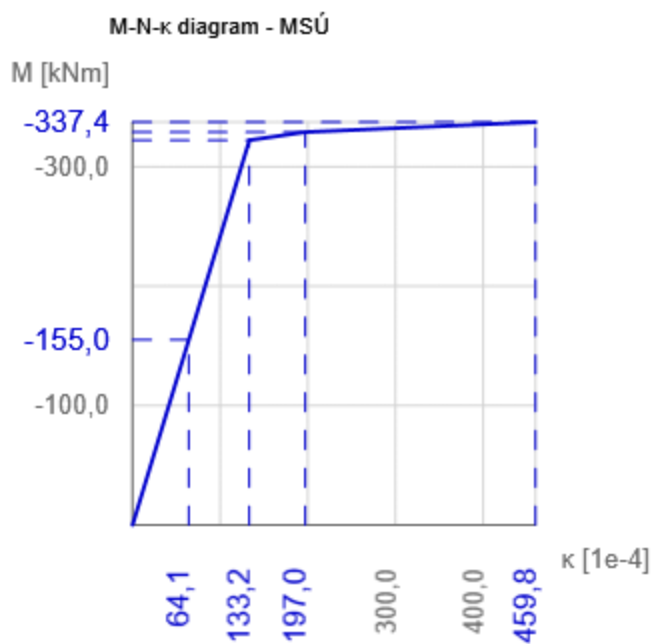
Typ	N [kN]	M _y [kNm]	κ [1e-4]	x _u [mm]	$\epsilon_{\text{horní}}$ [1e-4]	$\sigma_{\text{horní}}$ [MPa]	$\epsilon_{\text{dolní}}$ [1e-4]	$\sigma_{\text{dolní}}$ [MPa]	EI _y [MNm ²]
Mr	0,0	-66,8	5,0	175	-0,9	-2,9	0,9	2,9	133
Mc	-0,1	-350,7	109,2	84	-9,1	-30,0	22,0	440,0	32
Ms	0,0	-397,6	124,4	84	-10,5	-30,0	25,0	500,0	32
Mu	0,0	-405,4	535,8	65	-34,8	-30,0	117,9	500,0	8
Md	0,0	-35,3	2,7	175	-0,5	-1,5	0,3	5,9	133

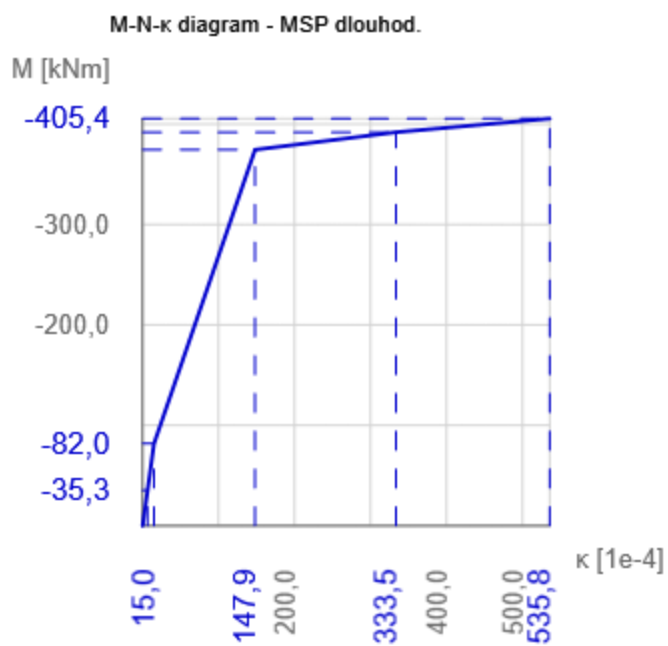
M-N- κ diagram - dlouhodobé účinky

Typ	N [kN]	M _y [kNm]	κ [1e-4]	x _u [mm]	$\epsilon_{\text{horní}}$ [1e-4]	$\sigma_{\text{horní}}$ [MPa]	$\epsilon_{\text{dolní}}$ [1e-4]	$\sigma_{\text{dolní}}$ [MPa]	EI _y [MNm ²]
Mr	0,0	-82,0	15,0	175	-2,6	-2,9	2,6	2,9	55
Mc	0,0	-391,8	333,5	82	-27,2	-30,0	67,8	500,0	12
Ms	-0,1	-374,5	147,9	116	-17,2	-18,9	25,0	500,0	25
Mu	0,0	-405,4	535,8	65	-34,8	-30,0	117,9	500,0	8
Md	0,0	-35,3	6,5	175	-1,1	-1,2	0,7	14,2	55

Součinitel dotvarování

Způsob určení	h ₀ [mm]	A _c [mm ²]	u [mm]	t [d]	t ₀ [d]	t _s [d]	RH [%]	Použit γ_{lt}	$\varphi(t, t_0)$ [-]
Automatické	259	350000	2700	36500,0	28,0	7,0	65	Ne	1,98





4 Seznam dimenzačních dílců

Dimenzační dílec M 2

Typ prvku	Nosník
Stupeň vlivu prostředí	XC4, XD1, XF2
Relativní vlhkost	65 %
Φ_{inf}	Vypočtený
Význam nosného prvku	Velký

Data pro ohybovou štiřlost

Světílá vzdálenost mezi líci podpor (5.3.2.2 (1)) m	Šířka podpírajícího prvku (5.3.2.2 (1))		Způsob podepření	
	Vlevo mm	Vpravo mm	Vlevo	Vpravo
2,00	350	175	Dokonalé vetknutí	Dokonalé vetknutí

Dimenzační dílec M 1

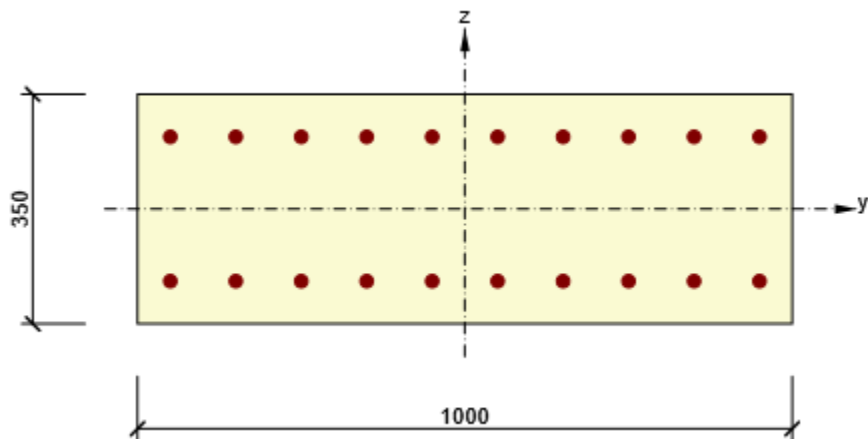
Typ prvku	Nosník
Stupeň vlivu prostředí	XC4, XD1, XF2
Relativní vlhkost	65 %
Φ_{inf}	Vypočtený
Význam nosného prvku	Velký

Data pro ohybovou štiřlost

Světílá vzdálenost mezi líci podpor (5.3.2.2 (1)) m	Šířka podpírajícího prvku (5.3.2.2 (1))		Způsob podepření	
	Vlevo mm	Vpravo mm	Vlevo	Vpravo
2,00	400	400	Dokonalé vetknutí	Dokonalé vetknutí

5 Seznam vyztužených průřezů

Vyztužený průřez R 3



Části průřezu

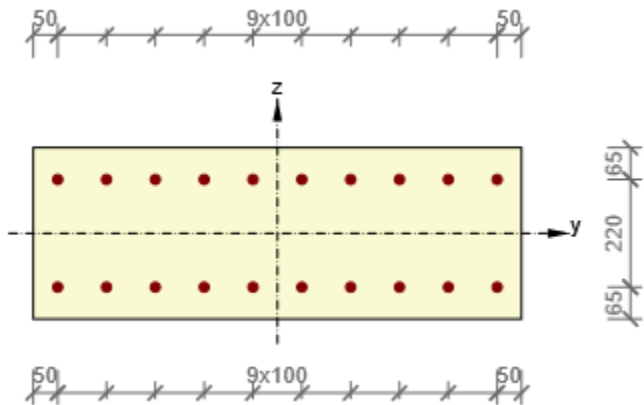
Obdélníkový průřez (1000 / 350mm), Materiál: C30/37

Průřezové charakteristiky

A [mm ²]	S _y [mm ³]	S _z [mm ³]	I _y [mm ⁴]	I _z [mm ⁴]	C _{gy} [mm]	C _{gz} [mm]	i _y [mm]	i _z [mm]
350000	0	0	3572916667	29166666667	0	0	101	289

Krytí k hranám průřezu

1	55 mm
2	55 mm
3	55 mm
4	55 mm



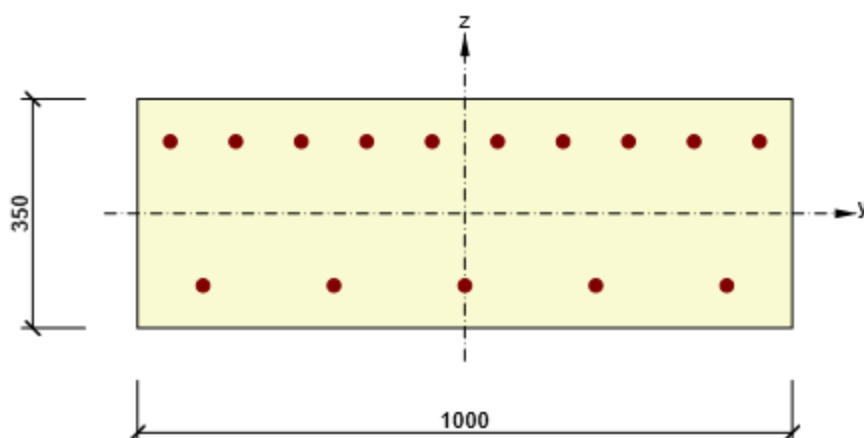
Podélná výztuž [kg/m]	Smyková výztuž [kg/m]	Celková hmotnost [kg/m]	Výztuž / m3 betonu [kg/m ³]
49	0	49	141

Podélná výztuž

Vložka	Ø [mm]	Materiál	Y [mm]	Z [mm]
1	20	B 500B	-450	-110
2	20	B 500B	-350	-110
3	20	B 500B	-250	-110
4	20	B 500B	-150	-110

Vložka	Ø [mm]	Materiál	Příloha: Statický výpočet	
			Y [mm]	Z [mm]
5	20	B 500B	-50	-110
6	20	B 500B	50	-110
7	20	B 500B	150	-110
8	20	B 500B	250	-110
9	20	B 500B	350	-110
10	20	B 500B	450	-110
11	20	B 500B	-450	110
12	20	B 500B	-350	110
13	20	B 500B	-250	110
14	20	B 500B	-150	110
15	20	B 500B	-50	110
16	20	B 500B	50	110
17	20	B 500B	150	110
18	20	B 500B	250	110
19	20	B 500B	350	110
20	20	B 500B	450	110

Vyztužený průřez R 1



Části průřezu

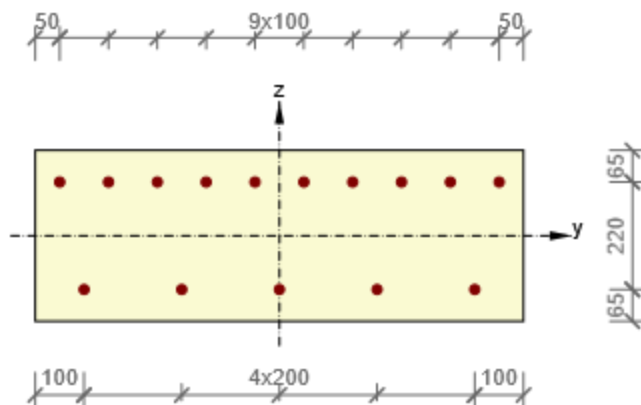
Obdélníkový průřez (1000 / 350mm), Materiál: C30/37

Průřezové charakteristiky

A [mm ²]	S _y [mm ³]	S _z [mm ³]	I _y [mm ⁴]	I _z [mm ⁴]	C _{gy} [mm]	C _{gz} [mm]	i _y [mm]	i _z [mm]
350000	0	0	3572916667	29166666667	0	0	101	289

Krytí k hranám průřezu

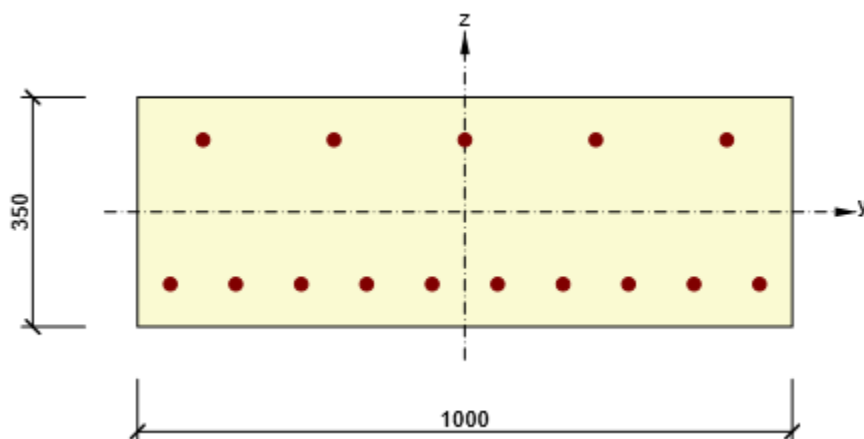
1	55 mm
2	55 mm
3	55 mm
4	30 mm



Podélná výztuž [kg/m]	Smyková výztuž [kg/m]	Celková hmotnost [kg/m]	Výztuž / m ³ betonu [kg/m ³]
37	0	37	106

Podélná výztuž

Vložka	Ø [mm]	Materiál	Y [mm]	Z [mm]
1	20	B 500B	-400	-110
2	20	B 500B	-200	-110
3	20	B 500B	0	-110
4	20	B 500B	200	-110
5	20	B 500B	400	-110
6	20	B 500B	-450	110
7	20	B 500B	-350	110
8	20	B 500B	-250	110
9	20	B 500B	-150	110
10	20	B 500B	-50	110
11	20	B 500B	50	110
12	20	B 500B	150	110
13	20	B 500B	250	110
14	20	B 500B	350	110
15	20	B 500B	450	110

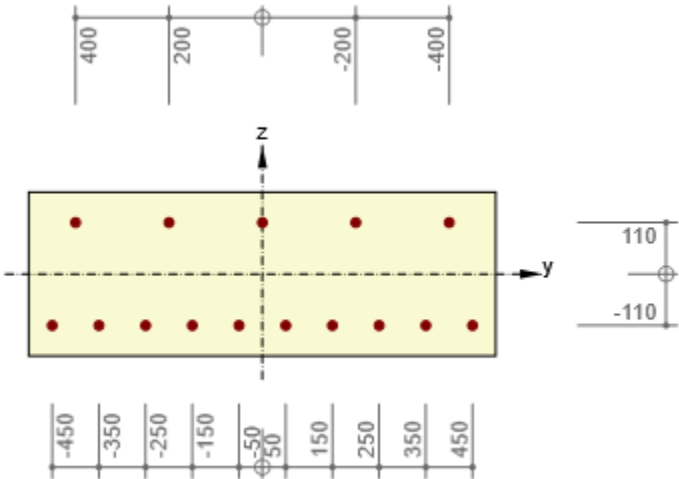
Výztužený průřez R 2**Části průřezu**

Obdélníkový průřez (1000 / 350mm), Materiál: C30/37

A [mm ²]	S _y [mm ³]	S _z [mm ³]	I _y [mm ⁴]	I _z [mm ⁴]	C _{gy} [mm]	C _{gz} [mm]	i _y [mm]	i _z [mm]
350000	0	0	3572916667	29166666667	0	0	101	289

Krytí k hranám průřezu

1	55 mm
2	55 mm
3	55 mm
4	55 mm



Podélná výztuž [kg/m]	Smyková výztuž [kg/m]	Celková hmotnost [kg/m]	Výztuž / m ³ betonu [kg/m ³]
37	0	37	106

Podélná výztuž

Vložka	Ø [mm]	Materiál	Y [mm]	Z [mm]
1	20	B 500B	-450	-110
2	20	B 500B	-350	-110
3	20	B 500B	-250	-110
4	20	B 500B	-150	-110
5	20	B 500B	-50	-110
11	20	B 500B	50	-110
12	20	B 500B	150	-110
13	20	B 500B	250	-110
14	20	B 500B	350	-110
15	20	B 500B	450	-110
6	20	B 500B	-400	110
7	20	B 500B	-200	110
8	20	B 500B	0	110
9	20	B 500B	200	110
10	20	B 500B	400	110

6 Seznam použitých materiálů

Beton

Název	f_{ck} [MPa]	f_{cm} [MPa]	f_{ctm} [MPa]	E_{cm} [MPa]	μ [-]	Jednotková hmotnost [kg/m ³]
C30/37	30,0	38,0	2,9	32836,6	0,20	2500
$\epsilon_{c2} = 20,0 \cdot 10^{-4}$, $\epsilon_{cu2} = 35,0 \cdot 10^{-4}$, $\epsilon_{c3} = 17,5 \cdot 10^{-4}$, $\epsilon_{cu3} = 35,0 \cdot 10^{-4}$, Exponent - n: 2,00, Rozměr zrna kameniva = 16 mm, Třída cementu: N (s = 0,25), Typ diagramu: Parabolický						

Vysvětlení

Symbol	Vysvětlení
f_{ck}	Charakteristická válcová pevnost betonu v tlaku ve stáří 28 dní
f_{cm}	Průměrná hodnota válcové pevnosti betonu v tlaku
f_{ctm}	Průměrná hodnota pevnosti betonu v dostředném tahu
E_{cm}	Sečnový modul pružnosti betonu
ϵ_c	Poměrné přetvoření betonu v tlaku při dosažení maximálního napětí f_c
ϵ_{cu}	Mezní poměrné přetvoření betonu v tlaku

Betonářská ocel

Název	f_{yk} [MPa]	f_{tk} [MPa]	E [MPa]	μ [-]	Jednotková hmotnost [kg/m ³]
B 500B	500,0	525,0	200000,0	0,20	7850
$f_{tk}/f_{yk} = 1,08$, $\epsilon_{uk} = 500,0 \cdot 10^{-4}$, Typ: Vložky, Povrch výztuže: Žebírkový, Třída: B, Výroba: Za tepla válcovaná, Typ diagramu: Bilineární s vodorovnou horní větví					

Vysvětlení

Symbol	Vysvětlení
f_{yk}	Charakteristická mez kluzu betonářské výztuže
f_{tk}	Charakteristická pevnost v tahu betonářské výztuže
E	Modul pružnosti výztužné oceli
ϵ_{uk}	Charakteristické poměrné přetvoření betonářské nebo předpínací oceli při maximálním zatížení

Výpočet Mikropiloty

Vstupní data

Projekt

Datum : 08.06.2020

Nastavení

(zadané pro aktuální úlohu)

Materiály a normy

Betonové konstrukce : EN 1992-1-1 (EC2)
 Součinitele EN 1992-1-1 : standardní
 Ocelové konstrukce : EN 1993-1-1 (EC3)
 Dílčí součinitel únosnosti ocelového průřezu : $\gamma_{M0} = 1,00$

Mikropiloty

Výpočet únosnosti dřívku : geometrická (Eulerova) metoda

Výpočet únosnosti kořene : metoda Lizziho

Metodika posouzení : mezní stavy

Součinitele redukce parametrů zemin			
Trvalá návrhová situace			
Součinitel redukce úhlu vnitřního tření :	$\gamma_{m\phi} =$	1,25	[-]
Součinitel redukce soudržnosti :	$\gamma_{mc} =$	1,40	[-]
Součinitel redukce kritické síly :	$\gamma_{mf} =$	1,00	[-]
Součinitel spolehlivosti cementové směsi :	$\gamma_{sc} =$	1,50	[-]
Součinitel spolehlivosti oceli :	$\gamma_{ss} =$	1,15	[-]
Součinitel redukce únosnosti kořene :	$\gamma_r =$	1,50	[-]

Parametry zemin

Třída G5

Objemová tíha : $\gamma = 19,50 \text{ kN/m}^3$
 Úhel vnitřního tření : $\phi_{ef} = 30,00^\circ$
 Soudržnost zeminy : $c_{ef} = 8,00 \text{ kPa}$
 Obj.tíha sat.zeminy : $\gamma_{sat} = 19,50 \text{ kN/m}^3$

Geometrie

Průměr = 89,0 mm

Tloušťka stěny = 10,0 mm

Volná délka mikropiloty $l = 0,50 \text{ m}$

Délka kořene $l_r = 3,50 \text{ m}$

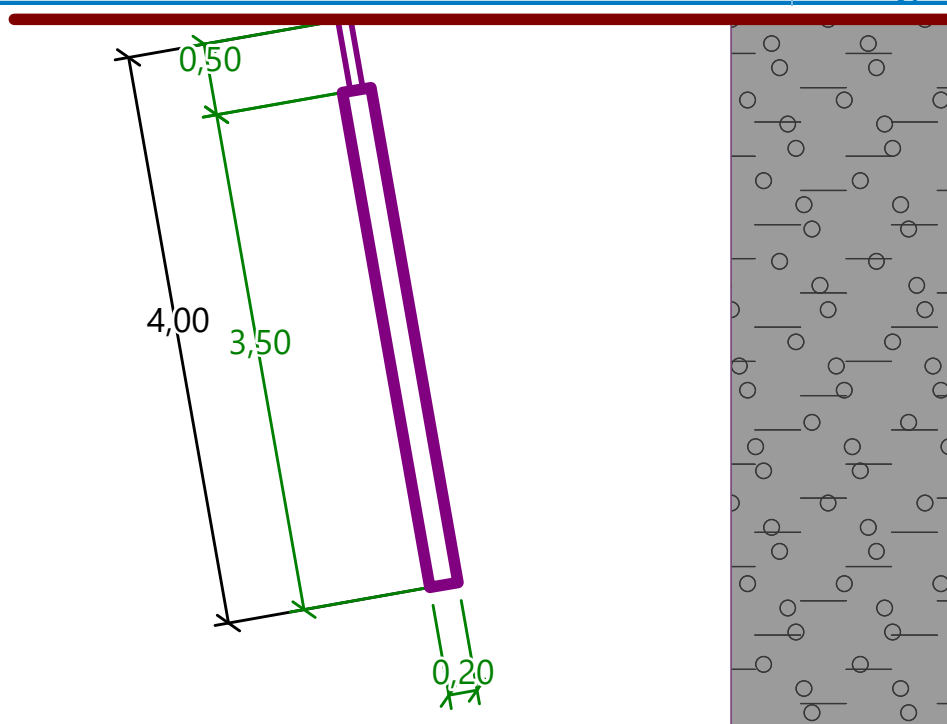
Průměr kořene $d_r = 0,20 \text{ m}$

Odklon mikropiloty od svislice $\alpha = 10,00^\circ$

Vysazení mikropiloty nad terén $l_a = 0,00 \text{ m}$

Název : Geometrie

Fáze - výpočet : 1 - 0

**Materiál konstrukce**Objemová tíha $\gamma = 23,00 \text{ kN/m}^3$

Výpočet betonových konstrukcí proveden podle normy EN 1992-1-1 (EC2).

Beton: C 20/25

Válcová pevnost v tlaku

 $f_{ck} = 20,00 \text{ MPa}$

Modul pružnosti

 $E_{cm} = 30000,00 \text{ MPa}$ **Ocel konstrukční: EN 10210-1 : S 235**

Mez kluzu

 $f_y = 235,00 \text{ MPa}$

Modul pružnosti

 $E = 210000,00 \text{ MPa}$ **Geologický profil a přiřazení zemin**

Číslo	Mocnost vrstvy t [m]	Hloubka z [m]	Přiřazená zemina	Vzorek
1		- 0,00 .. ∞	Třída G5	

Zatížení

Číslo	Zatížení nové změna	Název	Síla N [kN]	Moment M [kNm]
1	Ano	MSÚ	401,30	0,00

Posouzení čís. 1**Posouzení průřezu 1**

Výpočet proveden s automatickým výběrem nejnepříznivějších zatěžovacích stavů.

Posouzení vnitřní stability průřezu: geometrická (Eulerova) metoda

Výpočet vzpěrné délky průřezu - uložení (kloub-vetknutí).

Modul reakce podloží $E_p = 20,00 \text{ MN/m}^3$ Spočtený počet půlvln $n = 0,45$

Vzpěrná délka $l_{cr} = 0,35 \text{ m}$

Kritická normálová síla $N_{crd} = 35298,41 \text{ kN}$

Maximální normálová síla $N_{max} = 401,30 \text{ kN}$

Vnitřní stabilita průřezu mikropiloty VYHOVUJE

Posouzení únosnosti spřaženého průřezu:

Plocha ideálního průřezu $A_i = 3,02E+03 \text{ mm}^2$

Moment setrvačnosti ideálního průřezu $J_i = 2,13E+06 \text{ mm}^4$

Štíhlost prutu $\lambda = 13,308$

Součinitel vzpěrnosti $\kappa = 0,995$

Napětí v oceli $= 148,00 \text{ MPa}$

Výpočtová pevnost oceli $= 204,35 \text{ MPa}$

Spřažený průřez mikropiloty VYHOVUJE

Posouzení čís. 1

Posouzení kořene

Způsob výpočtu - metoda Lizziho.

Součinitel vlivu průměru kořene $= 0,85$

Průměrné mezní plášťové tření $q_{sav} = 400,00 \text{ kPa}$

Posouzení tlačené mikropiloty

Únosnost pláště mikropiloty $R_s = 747,70 \text{ kN}$

Výpočtová únosnost kořene mikropiloty $R_d = 498,47 \text{ kN}$

Maximální normálová síla $N_{max} = 401,30 \text{ kN}$

Únosnost tlačené mikropiloty VYHOVUJE

Výpočet vyztužených svahů

Vstupní data

Projekt

Datum : 09.03.2018

Nastavení

(zadané pro aktuální úlohu)

Materiály a normy

Betonové konstrukce : EN 1992-1-1 (EC2)

Součinitele EN 1992-1-1 : standardní

Výpočet zdí

Výpočet aktivního tlaku : Coulomb (ČSN 730037)

Výpočet pasivního tlaku : Caquot-Kerisel (ČSN 730037)

Výpočet zemětřesení : Mononobe-Okabe

Tvar zemního klínu : počítat šikmý

Dovolená excentricita : 0,333

Vnitřní stabilita : Standard - rovná smyková plocha

Metodika posouzení : výpočet podle EN 1997

Návrhový přístup : 2 - redukce zatížení a odporu

Součinitele redukce zatížení (F)			
Trvalá návrhová situace			
		Nepříznivé	Příznivé
Stálé zatížení :	$\gamma_G =$	1,35 [-]	1,00 [-]
Proměnné zatížení :	$\gamma_Q =$	1,35 [-]	0,00 [-]
Zatížení vodou :	$\gamma_W =$	1,35 [-]	

Součinitele redukce odporu (R)			
Trvalá návrhová situace			
Součinitel redukce odporu na překlopení :	$\gamma_{Rv} =$	1,40 [-]	
Součinitel redukce odporu na posunutí :	$\gamma_{Rh} =$	1,10 [-]	
Součinitel redukce odporu základové půdy :	$\gamma_{Re} =$	1,40 [-]	

Kombinační součinitele pro proměnná zatížení			
Trvalá návrhová situace			
Součinitel kombinační hodnoty :	$\psi_0 =$	0,70 [-]	
Součinitel časté hodnoty :	$\psi_1 =$	0,50 [-]	
Součinitel kvazistálé hodnoty :	$\psi_2 =$	0,30 [-]	

Stabilitní výpočty

Metodika posouzení : výpočet podle EN 1997

Návrhový přístup : 2 - redukce zatížení a odporu

Součinitele redukce zatížení (F)			
Trvalá návrhová situace			
		Nepříznivé	Příznivé
Stálé zatížení :	$\gamma_G =$	1,35 [-]	1,00 [-]
Proměnné zatížení :	$\gamma_Q =$	1,50 [-]	0,00 [-]
Zatížení vodou :	$\gamma_W =$	1,35 [-]	

Součinitele redukce odporu (R)

Trvalá návrhová situace

Součinitel redukce odporu na smyk. ploše :	$\gamma_{Rs} =$	1,10	[-]
--	-----------------	------	-----

Geometrie konstrukce

Počet bloků $n = 14$
 Výška bloku $h = 0,20$ m
 Šířka bloku $b = 0,30$ m
 Odskok bloku $a_1 = 0,00$ m

Základ konstrukce

Šířka základu $b_b = 0,80$ m
 Výška základu $l_b = 0,20$ m
 Odsazení základu $a_b = 0,20$ m

Materiál

Materiál bloku

Objemová tíha bloku $\gamma = 23,00$ kN/m³
 Koheze $c = 0,00$ kPa
 Tření $f = 0,533$
 Smyková únosnost spoje $R_s = 0,00$ kN/m

Typy výztuh

Číslo	Název	Typ výztuhy	Typ čáry	Pevnost výztuhy		Koeficient	
				T_{ult} [kN/m]	R_t [kN/m]	C_{ds} [-]	C_i [-]
1	Tensar RE560	Tensar RE560	—————	88,70	26,32	0,90	0,90

Podrobnosti výztuh

1. Tensar RE560

Krátkodobá char. pevnost $T_{ult} = 88,70$ kN/m
 Dlouhodobá návrhová pevnost $R_t = 26,32$ kN/m
 Celk. souč. nejistoty modelu $FS_{UNC} = 1,50$

Dopočítané redukční součinitele

Životnost : 120 let

Součinitel životnosti $RF_{CR} = 2,10$

Chemismus : pH 4.0-12.5

Chem/bio vliv prostředí $RF_D = 1,00$

Velikost zrn : < 37.5 mm

Narušení geovýztuhy zhutňováním $RF_{ID} = 1,07$

Vyztužení

Celkový počet zadanych výztuh : 8.

Podrobnosti vyztužení

Číslo bloku	Typ výztuhy	Počátek l_1 [m]	Konec l_2 [m]	Výška od spodu y [m]	Délka l [m]
2	Tensar RE560	0,00	5,00	0,20	5,00
4	Tensar RE560	0,00	5,00	0,60	5,00
6	Tensar RE560	0,00	5,00	1,00	5,00
8	Tensar RE560	0,00	5,00	1,40	5,00
10	Tensar RE560	0,00	5,00	1,80	5,00
12	Tensar RE560	0,00	5,00	2,20	5,00
13	Tensar RE560	0,00	6,00	2,40	6,00
14	Tensar RE560	0,00	6,00	2,60	6,00

Způsob uložení

Číslo	Typ výztuhy	Způsob uložení	a [m]	b [m]	k_{cr} [-]	α [-]
1	Tensar RE560	kontinuální				
2	Tensar RE560	kontinuální				
3	Tensar RE560	kontinuální				
4	Tensar RE560	kontinuální				
5	Tensar RE560	kontinuální				
6	Tensar RE560	kontinuální				
7	Tensar RE560	kontinuální				
8	Tensar RE560	kontinuální				
9	Tensar RE560	kontinuální				
10	Tensar RE560	kontinuální				
11	Tensar RE560	kontinuální				
12	Tensar RE560	kontinuální				
13	Tensar RE560	kontinuální				
14	Tensar RE560	kontinuální				

Parametry zemín

Třída F3, konzistence tuhá

Objemová tíha :	γ = 18,00 kN/m ³
Úhel vnitřního tření :	φ_{ef} = 26,50 °
Soudržnost zeminy :	c_{ef} = 12,00 kPa
Třecí úhel kce-zemina :	δ = 15,00 °
Obj.tíha sat.zeminy :	γ_{sat} = 18,00 kN/m ³

Třída F6, konzistence tuhá

Objemová tíha :	γ = 21,00 kN/m ³
Úhel vnitřního tření :	φ_{ef} = 19,00 °
Soudržnost zeminy :	c_{ef} = 12,00 kPa
Třecí úhel kce-zemina :	δ = 15,00 °
Obj.tíha sat.zeminy :	γ_{sat} = 21,00 kN/m ³

Třída G5

Objemová tíha :	γ = 19,50 kN/m ³
Úhel vnitřního tření :	φ_{ef} = 30,00 °
Soudržnost zeminy :	c_{ef} = 8,00 kPa
Třecí úhel kce-zemina :	δ = 30,00 °
Obj.tíha sat.zeminy :	γ_{sat} = 19,50 kN/m ³

Třída G4

Objemová tíha :	γ = 19,00 kN/m ³
Úhel vnitřního tření :	φ_{ef} = 32,50 °
Soudržnost zeminy :	c_{ef} = 4,00 kPa
Třecí úhel kce-zemina :	δ = 10,00 °
Obj.tíha sat.zeminy :	γ_{sat} = 19,00 kN/m ³

Geologický profil a přiřazení zemín

Číslo	Mocnost vrstvy t [m]	Hloubka z [m]	Přiřazená zemina	Vzorek
1	2,80	0,00 .. 2,80	Třída G4	
2	0,80	2,80 .. 3,60	Třída F6, konzistence tuhá	
3	2,20	3,60 .. 5,80	Třída G5	
4	-	5,80 .. ∞	Třída G5	

Tvar terénu

Terén za konstrukcí je rovný.

Vliv vody

Hladina podzemní vody za konstrukcí je v hloubce 3,33 m
Vztlak v základové spáře od rozdílných tlaků není uvažován.

Zadaná plošná přitížení

Číslo	Přítížení		Působ.	Vel.1 [kN/m ²]	Vel.2 [kN/m ²]	Poř.x x [m]	Délka l [m]	Hloubka z [m]
	nové	změna						
1	Ano		stálé	28,00		0,00	1,70	na terénu
2	Ano		proměnné	40,00		0,00	3,00	na terénu
3	Ano		proměnné	27,00		3,00	3,00	na terénu
4	Ano		proměnné	9,00		0,00	3,00	na terénu
5	Ano		proměnné	6,00		3,00	3,00	na terénu
6	Ano		proměnné	3,00		6,00	0,50	na terénu
7	Ano		stálé	10,00				na terénu

Číslo	Název
1	Přítěžovací deska
2	Nahodilé
3	Nahodilé pruh 2
4	UDL1
5	UDL2
6	UDL3
7	Vozovka

Odpor na líci konstrukce

Odpor na líci konstrukce: klidový

Zemina na líci konstrukce - Třída F6, konzistence tuhá

Výška zeminy před zdí $h = 0,90$ m

Terén před konstrukcí je rovný.

Nastavení výpočtu fáze

Návrhová situace : trvalá

Posouzení čís. 1

Spočtené síly působící na konstrukci

Název	F_{hor} [kN/m]	Působíště z [m]	F_{vert} [kN/m]	Působíště x [m]	Koef. překl.	Koef. posun.	Koef. napětí
Odpor na líci	-5,74	-0,30	0,00	0,50	1,000	1,000	1,350
Tíh.- vyztužená zemina	0,00	-1,72	279,36	3,25	1,000	1,000	1,350
Aktivní tlak	4,72	-0,30	1,96	1,19	1,000	1,350	1,350

Název	F_{hor} [kN/m]	Působíště z [m]	F_{vert} [kN/m]	Působíště x [m]	Koef. překl.	Koef. posun.	Koef. napětí
Tlak vody	0,00	-3,00	0,00	6,50	1,000	1,000	1,350
UDL3	0,00	-3,00	0,18	6,48	0,000	0,000	1,350
Vozovka	3,00	-0,81	1,54	4,21	1,000	1,350	1,350
Tíh.- zed'	0,00	-1,60	19,32	0,35	1,000	1,000	1,350
Přítěžovací deska	0,00	-3,00	47,60	1,35	1,000	1,000	1,350
Nahodilé	0,00	-3,00	120,00	2,00	0,000	0,000	1,350
Nahodilé pruh 2	0,00	-3,00	81,00	5,00	0,000	0,000	1,350
UDL1	0,00	-3,00	27,00	2,00	0,000	0,000	1,350
UDL2	0,00	-3,00	18,00	5,00	0,000	0,000	1,350
Vozovka	0,00	-3,00	60,00	3,50	1,000	1,000	1,350

Posouzení celé zdi

Místo posouzení : pod základem

Posouzení na překlpeníMoment vzdorující $M_{res} = 854,72$ kNm/mMoment klopící $M_{ovr} = 2,11$ kNm/m**Zed' na překlpení VYHOVUJE****Posouzení na posunutí**Vodor. síla vzdorující $H_{res} = 137,38$ kN/mVodor. síla posunující $H_{act} = 4,68$ kN/m**Zed' na posunutí VYHOVUJE****Celkové posouzení - ZED' VYHOVUJE****Dimenzace čís. 1****Spočtené síly působící na konstrukci**

Název	F_{hor} [kN/m]	Působíště z [m]	F_{vert} [kN/m]	Působíště x [m]	Koef. překl.	Koef. posun.	Koef. napětí
Tíh.- zed'	0,00	-1,60	19,32	0,35	1,000	1,000	1,350
Odpor na líci	-5,72	-0,30	0,02	0,10	1,000	1,000	1,350
Tíh.- zemní klín	0,00	-0,38	1,56	0,60	1,000	1,000	1,350
Aktivní tlak	14,86	-0,72	14,35	0,65	1,350	1,350	1,350
Tlak vody	0,00	-3,00	0,00	0,50	1,000	1,000	1,350
Přítěžovací deska	19,60	-1,47	6,88	0,60	1,350	1,350	1,350
Nahodilé	30,42	-1,54	10,03	0,60	1,350	1,350	1,350
Nahodilé pruh 2	5,82	-0,52	3,79	0,65	1,350	1,350	1,350
UDL1	6,84	-1,54	2,26	0,60	1,350	1,350	1,350
UDL2	1,29	-0,52	0,84	0,65	1,350	1,350	1,350
UDL3	0,00	-3,00	0,00	0,50	0,000	0,000	1,350
Vozovka	8,63	-1,42	4,33	0,62	1,350	1,350	1,350
Výztuha	-26,32	-0,40	0,00	0,81	1,000	1,000	1,350
Výztuha	-26,32	-0,80	0,00	1,03	1,000	1,000	1,350
Výztuha	-26,32	-1,20	0,00	1,26	1,000	1,000	1,350
Výztuha	-26,32	-1,60	0,00	1,48	1,000	1,000	1,350
Výztuha	-26,32	-2,00	0,00	1,70	1,000	1,000	1,350
Výztuha	-26,32	-2,40	0,00	1,92	1,000	1,000	1,350
Výztuha	-26,32	-2,60	0,00	2,03	1,000	1,000	1,350

Název	F_{hor} [kN/m]	Působíště z [m]	F_{vert} [kN/m]	Působíště x [m]	Koef. překl.	Koef. posun.	Koef. napětí
Výztuha	-18,98	-2,80	0,00	2,14	1,000	1,000	1,350

Posouzení celé zdi

Místo posouzení : pod vyztuženým tělesem

Posouzení na překlopeníMoment vzdorující $M_{res} = 275,81$ kNm/mMoment klopící $M_{ovr} = 150,65$ kNm/m**Zed' na překlopení VYHOVUJE****Posouzení na posunutí**Vodor. síla vzdorující $H_{res} = 217,94$ kN/mVodor. síla posunující $H_{act} = 112,36$ kN/m**Zed' na posunutí VYHOVUJE****Celkové posouzení - ZED' VYHOVUJE****Únosnost základové půdy****Síly působící ve středu základové spáry**

Číslo	Moment [kNm/m]	Norm. síla [kN/m]	Pos. síla [kN/m]	Excentricita [-]	Napětí [kPa]
1	-324,48	85,56	-163,96	0,000	106,95
2	-204,19	78,25	-90,84	0,000	97,81

Normové síly působící ve středu základové spáry (výpočet sedání)

Číslo	Moment [kNm/m]	Norm. síla [kN/m]	Pos. síla [kN/m]
1	-240,35	63,38	-121,45

Posouzení únosnosti základové půdy

Místo posouzení : pod základem

Tvar napětí v základové půdě : obdélník

Posouzení excentricityMax. excentricita normálové síly $e = 0,000$ Maximální dovolená excentricita $e_{alw} = 0,333$ **Excentricita normálové síly VYHOVUJE****Posouzení únosnosti základové spáry**Únosnost základové půdy $R = 500,00$ kPaSoučinitel redukce odporu základové půdy $\gamma_{Rv} = 1,40$ Max. napětí v základové spáře $\sigma = 106,95$ kPaNávrhová únosnost základové půdy $R_d = 357,14$ kPa**Únosnost základové půdy VYHOVUJE****Celkové posouzení - únosnost základové půdy VYHOVUJE****Posouzení posunutí po výztuze čís. 1****Spočtené síly působící na konstrukci (posouzení geovýztuhy s největším využitím)**

Název	F_{hor} [kN/m]	Působíště z [m]	F_{vert} [kN/m]	Působíště x [m]	Výpočtový koeficient
Tíh.- zed'	0,00	-1,30	17,94	-0,15	1,000
Odpor na líci	-1,76	-0,17	0,00	-0,30	1,000

Název	F_{hor} [kN/m]	Působíště z [m]	F_{vert} [kN/m]	Působíště x [m]	Výpočtový koeficient
Aktivní tlak	8,00	-0,64	5,10	5,00	1,350
Nahodilý pruh 2	8,69	-1,71	6,13	5,00	1,350
UDL2	2,14	-1,77	1,36	5,00	1,350
UDL3	0,54	-1,27	0,34	5,00	1,350
Vozovka	5,90	-1,28	3,80	5,00	1,350
Tíh.- vyztužená zemina	0,00	-1,30	246,91	2,50	1,000
Přítěžovací deska	0,00	-2,60	47,60	0,85	1,000
Nahodilý	0,00	-2,60	120,00	1,50	0,000
Nahodilý pruh 2	0,00	-2,60	54,00	4,00	0,000
UDL1	0,00	-2,60	27,00	1,50	0,000
UDL2	0,00	-2,60	12,00	4,00	0,000
Vozovka	0,00	-2,60	50,00	2,50	1,000
Výztuha	-8,72	-2,20	0,00	5,00	1,000
Výztuha	-4,36	-2,40	0,00	5,00	1,000

Posouzení na posunutí po geovýztuze s největším využitím (Výzt. čís.: 1)

Sklon smykové plochy	= 90,00 °
Celková normálová síla působící na výztuhu	= 367,09 kN/m
Součinitel redukce posunutí po geovýztuze	= 0,90
Odpor na geovýztuze	= 210,48 kN/m
Odpor zdi	= 9,56 kN/m
Celková únosnost výztuh	= 13,07 kN/m

Posouzení na posunutí:

Vodor. síla vzdorující $H_{res} = 213,52$ kN/m

Vodor. síla posunující $H_{act} = 34,10$ kN/m

Posunutí po geovýztuze VYHOVUJE

Výpočet vnitřní stability čís. 1

Spočtené síly a únosnosti geovýztuh

Číslo	Název	F_x [kN/m]	Hloubka z[m]	R_t [kN/m]	Využití [%]	T_p [kN/m]	Využití [%]
1	Tensar RE560	-22,12	2,60	26,32	84,06	277,03	7,99
2	Tensar RE560	-21,18	2,20	26,32	80,48	223,89	9,46
3	Tensar RE560	-16,72	1,80	26,32	63,53	174,57	9,58
4	Tensar RE560	-14,65	1,40	26,32	55,66	129,09	11,35
5	Tensar RE560	-13,56	1,00	26,32	51,53	87,42	15,51
6	Tensar RE560	-9,45	0,60	26,32	35,90	49,59	19,05
7	Tensar RE560	-5,95	0,40	26,32	22,61	40,82	14,58
8	Tensar RE560	-7,52	0,20	26,32	28,58	19,93	37,73

Posouzení na přetržení (geovýztuha čís.1)

Únosnost na přetržení $R_t = 26,32$ kN/m

Síla v geovýztuze $F_x = 22,12$ kN/m

Geovýztuha na přetržení VYHOVUJE

Posouzení na vytržení (geovýztuha čís.8)

Únosnost na vytržení $T_p = 19,93$ kN/m

Síla v geovýztuze $F_x = 7,52$ kN/m

Geovýztuha na vytržení VYHOVUJE

Celkové posouzení - geovýztuha VYHOVUJE**Výpočet globální stability čís. 1****Parametry smykové plochy**

(smyková plocha po optimalizaci)

Střed $S = (-1,27; -0,01)$ mPoloměr $r = 3,75$ mÚhel $\alpha_1 = -55,76^\circ$ $\alpha_2 = 89,85^\circ$ **Posouzení stability svahu (Bishop)**

Využití = 66,70 %

Stabilita svahu VYHOVUJE**Výpočet stability svahu****Vstupní data****Projekt****Nastavení**

(zadané pro aktuální úlohu)

Stabilitní výpočty

Výpočet zemětřesení : Standard

Metodika posouzení : výpočet podle EN 1997

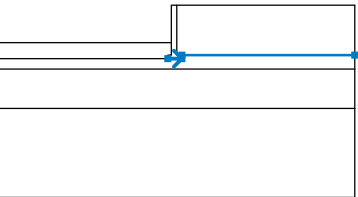
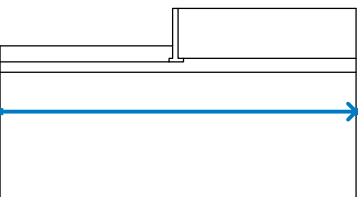
Návrhový přístup : 2 - redukce zatížení a odporu

Součinitele redukce zatížení (F)			
Trvalá návrhová situace			
		Nepříznivé	Příznivé
Stálé zatížení :	$\gamma_G =$	1,35 [-]	1,00 [-]
Proměnné zatížení :	$\gamma_Q =$	1,50 [-]	0,00 [-]
Zatížení vodou :	$\gamma_W =$	1,35 [-]	

Součinitele redukce odporu (R)			
Trvalá návrhová situace			
Součinitel redukce odporu na smyk. ploše :	$\gamma_{Rs} =$	1,10 [-]	

Rozhraní

Číslo	Umístění rozhraní	Souřadnice bodů rozhraní [m]					
		x	z	x	z	x	z
1		-10,00	-2,10	-0,30	-2,10	-0,30	-2,00
		-0,30	-1,80	-0,30	-1,60	-0,30	-1,40
		-0,30	-1,20	-0,30	-1,00	-0,30	-0,80
		-0,30	-0,60	-0,30	-0,40	-0,30	-0,20
		-0,30	0,00	0,00	0,00	10,00	0,00
2		0,00	0,00	0,00	-0,20	0,00	-0,40
		0,00	-0,60	0,00	-0,80	0,00	-1,00
		0,00	-1,20	0,00	-1,40	0,00	-1,60
		0,00	-1,80	0,00	-2,00	0,00	-2,20
		0,00	-2,40	0,00	-2,60	0,00	-2,80
		0,30	-2,80				

Číslo	Umístění rozhraní	Souřadnice bodů rozhraní [m]					
		x	z	x	z	x	z
3		-10,00	-3,00	-0,50	-3,00	-0,50	-2,80
		-0,30	-2,80	-0,30	-2,60	-0,30	-2,40
		-0,30	-2,20	-0,30	-2,10		
4		-0,50	-3,00	0,30	-3,00	0,30	-2,80
		10,00	-2,80				
5		-10,00	-3,60	10,00	-3,60		
6		-10,00	-5,80	10,00	-5,80		

Parametry zemin - efektivní napjatost

Číslo	Název	Vzorek	φ_{ef} [°]	c_{ef} [kPa]	γ [kN/m ³]
1	Třída F3, konzistence tuhá		26,50	12,00	18,00
2	Třída F6, konzistence tuhá		19,00	12,00	21,00
3	Třída G5		30,00	8,00	19,50
4	Třída G4		32,50	4,00	19,00

Parametry zemin - vztlak

Číslo	Název	Vzorek	γ_{sat} [kN/m ³]	γ_s [kN/m ³]	n [-]
1	Třída F3, konzistence tuhá		18,00		
2	Třída F6, konzistence tuhá		21,00		
3	Třída G5		19,50		
4	Třída G4		19,00		

Parametry zemin

Třída F3, konzistence tuhá

Objemová tíha : $\gamma = 18,00 \text{ kN/m}^3$
 Napjatost : efektivní
 Úhel vnitřního tření : $\varphi_{\text{ef}} = 26,50^\circ$
 Soudržnost zeminy : $c_{\text{ef}} = 12,00 \text{ kPa}$
 Obj.tíha sat.zeminy : $\gamma_{\text{sat}} = 18,00 \text{ kN/m}^3$

Třída F6, konzistence tuhá

Objemová tíha : $\gamma = 21,00 \text{ kN/m}^3$
 Napjatost : efektivní
 Úhel vnitřního tření : $\varphi_{\text{ef}} = 19,00^\circ$
 Soudržnost zeminy : $c_{\text{ef}} = 12,00 \text{ kPa}$
 Obj.tíha sat.zeminy : $\gamma_{\text{sat}} = 21,00 \text{ kN/m}^3$

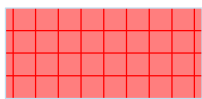
Třída G5

Objemová tíha : $\gamma = 19,50 \text{ kN/m}^3$
 Napjatost : efektivní
 Úhel vnitřního tření : $\varphi_{\text{ef}} = 30,00^\circ$
 Soudržnost zeminy : $c_{\text{ef}} = 8,00 \text{ kPa}$
 Obj.tíha sat.zeminy : $\gamma_{\text{sat}} = 19,50 \text{ kN/m}^3$

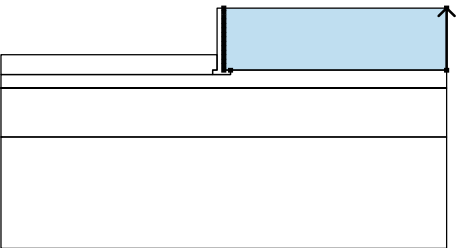
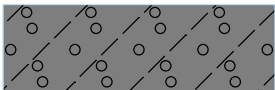
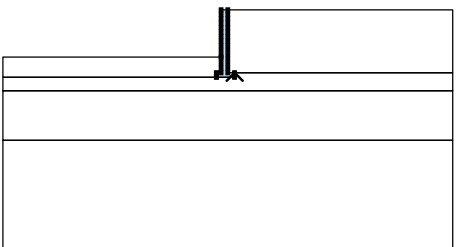
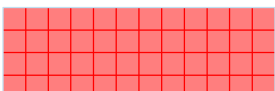
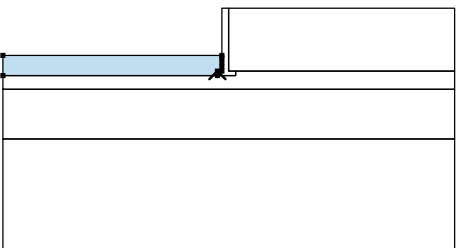

Třída G4

Objemová tíha : $\gamma = 19,00 \text{ kN/m}^3$
 Napjatost : efektivní
 Úhel vnitřního tření : $\varphi_{\text{ef}} = 32,50^\circ$
 Soudržnost zeminy : $c_{\text{ef}} = 4,00 \text{ kPa}$
 Obj.tíha sat.zeminy : $\gamma_{\text{sat}} = 19,00 \text{ kN/m}^3$

Tuhá tělesa

Číslo	Název	Vzorek	γ [kN/m ³]
1	Materiál konstrukce		23,00

Přiřazení a plochy

Číslo	Umístění plochy	Souřadnice bodů plochy [m]				Přiřazená zemina
		x	z	x	z	
1		10,00	-2,80	10,00	0,00	Třída G4 
		0,00	0,00	0,00	-0,20	
		0,00	-0,40	0,00	-0,60	
		0,00	-0,80	0,00	-1,00	
		0,00	-1,20	0,00	-1,40	
		0,00	-1,60	0,00	-1,80	
		0,00	-2,00	0,00	-2,20	
		0,00	-2,40	0,00	-2,60	
		0,00	-2,80	0,30	-2,80	
2		0,30	-3,00	0,30	-2,80	Materiál konstrukce 
		0,00	-2,80	0,00	-2,60	
		0,00	-2,40	0,00	-2,20	
		0,00	-2,00	0,00	-1,80	
		0,00	-1,60	0,00	-1,40	
		0,00	-1,20	0,00	-1,00	
		0,00	-0,80	0,00	-0,60	
		0,00	-0,40	0,00	-0,20	
		0,00	0,00	-0,30	0,00	
		-0,30	-0,20	-0,30	-0,40	
		-0,30	-0,60	-0,30	-0,80	
		-0,30	-1,00	-0,30	-1,20	
		-0,30	-1,40	-0,30	-1,60	
		-0,30	-1,80	-0,30	-2,00	
		-0,30	-2,10	-0,30	-2,20	
3		-0,30	-2,40	-0,30	-2,60	Třída F6, konzistence tuhá 
		-0,30	-2,10	-10,00	-2,10	
		-10,00	-3,00			
		-0,50	-3,00	-0,50	-2,80	
		-0,30	-2,80	-0,30	-2,60	
		-0,30	-2,40	-0,30	-2,20	

Číslo	Umístění plochy	Souřadnice bodů plochy [m]				Přiřazená zemina
		x	z	x	z	
4		10,00	-3,60	10,00	-2,80	Třída F6, konzistence tuhá
		0,30	-2,80	0,30	-3,00	
		-0,50	-3,00	-10,00	-3,00	
		-10,00	-3,60			
5		10,00	-5,80	10,00	-3,60	Třída G5
		-10,00	-3,60	-10,00	-5,80	
6		-10,00	-5,80	-10,00	-10,80	Třída G5
		10,00	-10,80	10,00	-5,80	

Výztuhy

Číslo	Bod vlevo		Bod vpravo		Délka L [m]	Pevnost R _t [kN/m]	Ún. na vytrž.	Uložení výztuhy
	x [m]	z [m]	x [m]	z [m]				
1	0,00	-0,20	6,00	-0,20	6,00	26,32	T _p = 4,36 kN/m ²	Pevné
2	0,00	-0,40	6,00	-0,40	6,00	26,32	T _p = 8,72 kN/m ²	Pevné
3	0,00	-0,60	5,00	-0,60	5,00	26,32	T _p = 13,07 kN/m ²	Pevné
4	0,00	-1,00	5,00	-1,00	5,00	26,32	T _p = 21,79 kN/m ²	Pevné
5	0,00	-1,40	5,00	-1,40	5,00	26,32	T _p = 30,50 kN/m ²	Pevné
6	0,00	-1,80	5,00	-1,80	5,00	26,32	T _p = 39,22 kN/m ²	Pevné
7	0,00	-2,20	5,00	-2,20	5,00	26,32	T _p = 47,93 kN/m ²	Pevné
8	0,00	-2,60	5,00	-2,60	5,00	26,32	T _p = 56,65 kN/m ²	Pevné

Přítížení

Číslo	Typ	Působení	Umístění z [m]	Počátek x [m]	Délka l [m]	Šířka b [m]	Sklon α [°]	Velikost		
								q, q ₁ , f, F, x	q ₂ , z	jednotka
1	pásové	stálé	na povrchu	x = 0,00	l = 1,70		0,00	28,00		kN/m ²
2	pásové	proměnné	na povrchu	x = 0,00	l = 3,00		0,00	40,00		kN/m ²
3	pásové	proměnné	na povrchu	x = 3,00	l = 3,00		0,00	27,00		kN/m ²

--

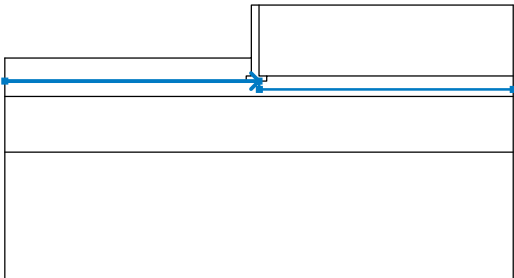
Číslo	Typ	Působení	Umístění z [m]	Počátek x [m]	Délka l [m]	Šířka b [m]	Sklon α [°]	Velikost		
								q, q ₁ , f, F, x	q ₂ , z	jednotka
4	pásové	proměnné	na povrchu	x = 0,00	l = 3,00		0,00	9,00		kN/m ²
5	pásové	proměnné	na povrchu	x = 3,00	l = 3,00		0,00	6,00		kN/m ²
6	pásové	proměnné	na povrchu	x = 6,00	l = 0,50		0,00	3,00		kN/m ²
7	pásové	stálé	na povrchu	x = 0,00	l = 10,00		0,00	10,00		kN/m ²

Názvy přitížení

Číslo	Název
1	Přítěžovací deska
2	Nahodilé
3	Nahodilé pruh 2
4	UDL1
5	UDL2
6	UDL3
7	Vozovka

Voda

Typ vody : HPV

Číslo	Umístění HPV	Souřadnice bodů HPV [m]					
		x	z	x	z	x	z
1		-10,00	-3,00	0,00	-3,00	0,01	-3,33
		10,00	-3,33				

Tahová trhlina

Tahová trhlina není zadána.

Zemětřesení

Se zemětřesením se nepočítá.

Nastavení výpočtu fáze

Návrhová situace : trvalá

Výsledky (Fáze budování 1)

Výpočet 1

Kruhová smyková plocha

--

Parametry smykové plochy					
Střed :	x =	-1,30 [m]	Úhly :	α_1 =	-55,84 [°]
	z =	0,00 [m]		α_2 =	90,00 [°]
Poloměr :	R =	3,74 [m]			
Smyková plocha po optimalizaci.					

Únosnosti výztuh

Výztuha Únosnost [kN/m]

1	15,71
2	26,32
3	26,32
4	26,32
5	26,32
6	26,32
7	26,32
8	26,32

Posouzení stability svahu (Bishop)Sumace aktivních sil : $F_a = 264,27$ kN/mSumace pasivních sil : $F_p = 435,41$ kN/mMoment sesouvající : $M_a = 988,39$ kNm/mMoment vzdorující : $M_p = 1480,38$ kNm/m

Využití : 66,8 %

Stabilita svahu VYHOVUJE**Výpočet 3****Kruhová smyková plocha**

Parametry smykové plochy					
Střed :	x =	-1,26 [m]	Úhly :	$\alpha_1 =$	-51,26 [°]
	z =	0,04 [m]		$\alpha_2 =$	89,33 [°]
Poloměr :	R =	3,42 [m]			
Zadaná smyková plocha.					

Posouzení stability svahu (Bishop)**Výpočet nebyl proveden.****Výpočet 4****Kruhová smyková plocha**

Parametry smykové plochy					
Střed :	x =	-0,93 [m]	Úhly :	$\alpha_1 =$	-48,95 [°]
	z =	0,10 [m]		$\alpha_2 =$	88,29 [°]
Poloměr :	R =	3,35 [m]			
Zadaná smyková plocha.					

Posouzení stability svahu (Bishop)**Výpočet nebyl proveden.****Výpočet 5****Kruhová smyková plocha**

--

Parametry smykové plochy						
Střed :	x =	-1,27 [m]	Úhly :	α_1 =	-55,76 [°]	
	z =	0,01 [m]		α_2 =	89,85 [°]	
Poloměr :	R =	3,75 [m]				
Zadaná smyková plocha.						

Posouzení stability svahu (Bishop)

Výpočet nebyl proveden.